



بررسی تحلیلی اثر پارامترهای مختلف بر عملکرد لرزه‌ای قاب‌های بتن مسلح میان‌پر مصالح بنایی

دلارام استاد، جلیل شفائی*

دانشکده مهندسی عمران، دانشگاه صنعتی شاهرود، شاهرود، ایران.

تاریخچه داوری:

دریافت: ۱۳۹۸/۰۴/۱۵

بازنگری: ۱۳۹۸/۱۰/۰۲

پذیرش: ۱۳۹۸/۱۰/۰۴

راهن آنلاین: ۱۳۹۸/۱۱/۰۹

کلمات کلیدی:

قاب بتن مسلح

میان‌قاب مصالح بنایی

بارگذاری یک‌طرفه

عملکرد لرزه‌ای

تحلیل اجزای محدود

خلاصه: در کشور ما بیشتر ساخت و سازهای بتنی رایج دارای سیستم قاب بتنی با میان‌قاب‌های مصالح بنایی (آجری) در نواحی میانی و پیرامونی ساختمان می‌باشد. امروزه در نظر گرفتن اندرکنش قاب و میان‌قاب یکی از چالش‌های مهم در زمینه تحقیقات مهندسی است و اغلب مهندسان تأثیر میان‌قاب را به طور مستقیم در طراحی ساختمان‌ها در نظر نمی‌گیرند. با توجه به آسیب‌هایی که در زلزله‌های گذشته مشاهده شده است، میان‌قاب‌های بنایی می‌توانند اثرات مثبت و منفی بر عملکرد لرزه‌ای سازه‌های بتنی داشته باشند. در این مقاله، با مدل‌سازی عددی به روش اجزای محدود غیرخطی اثر وجود میان‌قاب‌های آجری بر رفتار درون صفحه قاب‌های بتنی با جزئیات لرزه‌ای و غیر لرزه‌ای در سطوح مختلف بارمحوری و ضخامت‌های مختلف میان‌قاب، در عملکرد لرزه‌ای قاب‌های بتنی بررسی می‌شود. برای این منظور ابتدا مدل‌های پیشنهادی با استفاده از نتایج آزمایشگاهی در نرم‌افزار اجزای محدود ABAQUS اعتبارسنجی می‌شود. نتایج حاصل از تحلیل‌های صورت گرفته نشان می‌دهد که افزایش بار محوری باعث افزایش مقاومت نهایی و سختی مؤثر و کاهش شکل‌پذیری در قاب‌ها با مشخصات لرزه‌ای می‌شود. مقاومت نهایی، سختی مؤثر و شکل‌پذیری در قاب و قاب میان‌پر با مشخصات لرزه‌ای در مقایسه با قاب و قاب میان‌پر مشابه با مشخصات غیر لرزه‌ای، افزایش داشته است. افزایش ضخامت میان‌قاب مصالح بنایی باعث افزایش مقاومت نهایی و سختی مؤثر در قاب‌ها با مشخصات لرزه‌ای و غیر لرزه‌ای می‌شود.

۱- مقدمه

به طوری که بین میان‌قاب و قاب اطراف آن نیرو اندرکنشی^۱

به وجود می‌آید، که عملکرد قاب و میان‌قاب را به صورت مجزا تغییر می‌دهد. وجود اندرکنش بین قاب و میان‌قاب می‌تواند باعث بهبود رفتار سازه یا باعث خرابی و انهدام سازه شود و همچنین به دلیل افزایش سختی مؤثر سازه، تأثیر قابل توجهی بر روی دوره تناوب طبیعی سازه می‌گذارد. شکل ۱ خسارت‌های وارده به میان‌قاب مصالح بنایی در زلزله ۲۱ آبان ماه سال ۱۳۹۶ کرمانشاه را نشان می‌دهد. همان‌طور که در شکل ۱ نشان داده شده است، مود گسیختگی میان‌قاب‌های مصالح بنایی در داخل صفحه شامل ترک خوردگی قطری، خوردشدن پاشنه و لغزش درز ملات می‌باشد [۱]. میان‌قاب‌ها اساساً رفتار ساختمان‌ها

قاب‌های بتن مسلح که توسط دیوارهای مصالح بنایی (آجری) پر می‌شود، در مراجع فنی به عنوان قاب‌های میان‌پر^۲ مصالح بنایی معروف می‌شوند. میان‌قاب مصالح بنایی در ساختمان‌ها به عنوان اعضای غیر سازه‌ای محسوب می‌شوند که وزن قابل توجهی دارند و سختی و مقاومت سازه را افزایش می‌دهند و از شکل‌پذیری قاب^۳ می‌کاهند. پر شدن یک قاب بتنی توسط میان‌قاب آجری به طور قابل توجهی مشخصات رفتاری آن را تغییر می‌دهد،

1 Infill-Frame

2 Ductility

* نویسنده عهده‌دار مکاتبات: jshafaei@shahroodut.ac.ir

3 Interaction

(Creative Commons License) حقوق مولفین به نویسنده‌گان و حقوق ناشر به انتشارات دانشگاه امیرکبیر داده شده است. این مقاله تحت لیسانس آفرینندگی مردمی (Creative Commons License) در دسترس شما قرار گرفته است. برای جزئیات این لیسانس، از آدرس <https://www.creativecommons.org/licenses/by-nc/4.0/legalcode> دیدن فرمائید.





شکل ۱. خسارت داخل صفحه میان قاب های مصالح بنایی در زلزله ۲۱ آبان ماه کرمانشاه ۱۳۹۶ [۱]
Fig. 1. In-plane damage of infill masonry, earthquake Kermanshah 2 Nov. 2017.

روش استفاده از یک چهارم قطر میان قاب را برای عرض مؤثر قید فشاری توصیه کردند [۵]. محراجی^۴ و همکاران در سال ۱۹۹۶ برای بررسی تأثیر میان قاب های مصالح بنایی بر عملکرد قاب بتن مسلح ۱۲ نمونه قاب یک طبقه و یک دهانه با میان قاب های مصالح بنایی ضعیف تحت بارهای یکنواخت و چرخه ای را مورد آزمایش قرار دادند و نتیجه گرفتند که میان قاب های مصالح بنایی بر عملکرد قاب های بتونی تأثیر مثبت دارد [۶]. مورتی و جین^۵ در سال ۲۰۰۰ بر روی ۱۲ نمونه قاب بتونی یک طبقه یک دهانه آزمایشاتی را انجام دادند، از نتایج دریافتند که میان قاب مصالح بنایی باعث افزایش مقاومت نهایی، سختی مؤثر و شکل پذیری کلی در توانایی جذب انرژی ۲۰۰۵ سازه های بتونی می شود [۷]. تسنیمی و محب خواه^۶ در سال ۱۹۷۷ با استفاده از مدل دستک قطری روش های تحلیل استاتیکی معادل و دینامیکی طیفی به بررسی تأثیر نامنظم ناشی از وجود میان قاب ها در نیاز لرزه ای قاب های بتن مسلح پرداختند؛ از نتایج مشاهده شد که وجود میان قاب در یک طبقه باعث کاهش نیاز تغییر مکان نسبی و افزایش نیروی برشی در آن طبقه و طبقه های مجاور آن شده است [۸]. آستریس^۷ و همکاران در سال ۲۰۱۳ مacro مدل های مختلفی برای طراحی قاب میان پر مصالح بنایی پیشنهاد دادند، نتایج نشان داد که مدل هایی با سه دستک فشاری اندر کنش بین قاب و میان قاب را با دقت بیشتری نسبت به مدل هایی با یک دستک فشاری پیش بینی می کند [۹]. کامپیون^۸ در سال ۲۰۱۵ مدل قاب میان پر را با توجه به اثرات بار محوری بروز رسانی کردند [۱۰]. ژای^۹ و همکاران در سال ۲۰۱۶ رفتار لرزه ای قاب میان پر مصالح بنایی با و

تحت بارهای جانبی مانند باد و زلزله را تغییر می دهند، و با توجه به رفتار ترد میان قاب های مصالح بنایی غیر مسلح تحت بارهای درون صفحه متحمل خسارت های سازه ای به صورت ترک های جزئی تا خرد شدگی و انهدام کامل می شوند و از طرفی گسیختگی میان قاب ها در هنگام رخداد زلزله در جهت خارج از صفحه می تواند منجر به تلفات مالی و جانی سنگینی گردد؛ زیرا در این شرایط در اثر ترک خودگی و خرد شدگی دیوار و همچنین به علت نیروهای عمود بر صفحه میان قاب ها، پرتاب قطعاتی از دیوار به سمت خارج از صفحه میان قاب می تواند ایمنی جانی ساکنین داخل و خارج از ساختمان را به مخاطره بیاندازد [۲].

در ادبیات فنی، ردینگتون و استفورد اسمیت^۱ در سال ۱۹۷۷ پس از تحلیل چند نمونه قاب میان پر مصالح بنایی به روش اجزای محدود خطی، روابطی را برای محاسبه تنش های برشی، کششی قطری و فشاری قائم در مرکز میان قاب ارائه دادند؛ آنها دریافتند که تنش ها در مرکز میان قاب مستقل از سختی قاب و اصطکاک بین مرزی بوده ولی به شدت تحت تأثیر نسبت ارتفاع به طول میان قاب می باشد [۳]. صباح و عبدین^۲ در سال ۱۹۸۸ از روش عددی برای تحلیل لرزه ای قاب های میان پر بتونی با جایگذاری دستک فشاری معادل استفاده کردند و تأثیر عواملی از قبیل سازه، نوع مصالح میان قاب، نسبت هندسی میان قاب و عرض مؤثر دستک فشاری معادل را بررسی نمودند، آنها دریافتند که افزایش ارتفاع به طول قاب موجب افزایش مقادیر تنش های ایجاد شده در ستون ها می شود [۴]. پائولی و پریستلی^۳ سال ۱۹۹۲ با استفاده از اعضای مهاربند قطری دو سر مفصل را به جای میان قاب ها در تحلیل قاب های میان پر پیشنهاد دادند، همچنین آنها در محاسبه سختی قاب میان پر به این

۴ Mehrabi

۵ Murty & Jain

۶ Tasnimi & Moheb Khah

۷ Asteris

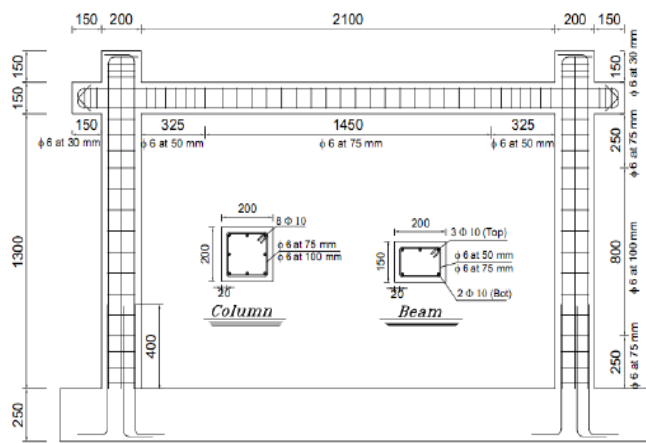
۸ Campione

۹ Zhai

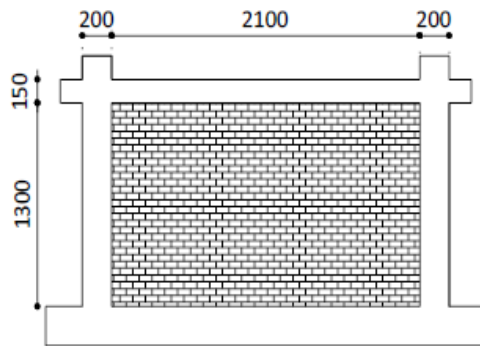
۱ Riddington & Stafford Smith

۲ Sobiah & Abdin

۳ Paulay & Pritchley



شکل ۳. جزئیات اجرایی قاب بتن مسلح (اندازه بر حسب میلی‌متر) [۱۶]
Fig. 3. Geometry and reinforcing details of reinforced concrete frame (dimensions in millimetre).



شکل ۲. مشخصات کلی نمونه قاب میان پر مصالح بنایی [۱۶]

Fig. 2. General specification of infill-frame masonry specimen

جدول ۱. میانگین مشخصات مصالح آزمایشگاهی [۱۶]

Table 1. Average experimental specification of materials.

| | | |
|-----------------|--------------|-------|
| بتن | مقاومت فشاری | ۲۱/۹ |
| آجر | مقاومت فشاری | ۹/۱۶ |
| ملات ماسه سیمان | مقاومت فشاری | ۸/۳۳ |
| میلگرد های طولی | مقاومت تسلیم | ۴۳۸/۳ |
| | مقاومت نهایی | ۶۴۵ |
| میلگرد های عرضی | مقاومت تسلیم | ۳۹۶/۳ |
| | مقاومت نهایی | ۵۰۹/۳ |

مختلف بارهای محوری^۱ و افزایش ضخامت میان قاب های مصالح بنایی است. برای این منظور یک قاب بتی یک طبقه و یک دهانه، مسلح غیر لرزه ای و یک قاب مسلح لرزه ای و یک قاب میان پر غیر لرزه ای با مقیاس ۱:۲ در نرم افزار ABAQUS مدل سازی و با مدل های آزمایشگاهی صحت سنجی شده است. در این مقاله شش نمونه قاب بتی و ۱۲ نمونه قاب میان پر مصالح بنایی با جزئیات لرزه ای و غیر لرزه ای تحت سطوح مختلف بارهای محوری ۰/۱، ۰/۲ و ۰/۳ ظرفیت نهایی فشاری ستون ها مدل سازی و تحلیل شده است. برای به دست آوردن پارامترهایی نظری مقاومت نهایی، سختی مؤثر، شکل پذیری نمونه های تحلیلی با استفاده از روشی که FEMA ۳۵۶ [۱۵] پیشنهاد داده، نمودار نیرو - تغییر مکان دو خطی شده است، و تأثیر پارامترهای

بدون بازشو چهار نمونه تک دهانه و تک طبقه با مقیاس کامل آزمایش شده تحت بار ثابت و بار جانبی چرخه ای شبه استاتیک را بررسی کردند. نتایج نشان داده است قاب میان پر از نظر مقاومت و سختی تأثیر بیشتری دارد [۱۱]. نصیری^۲ در سال ۲۰۱۷ مدل های سه بعدی اجزای محدود برای مدل های قاب میان پر برای عملکرد لرزه ای توسعه دادند، آنها مشاهده کردند که رفتار درون صفحه قاب بتی با میان قاب مصالح بنایی به طور قابل توجهی تحت تأثیر پارامترهای سطح شکست ملات و اتساع قرار گرفته و کمتر تحت انرژی شکست ملات است [۱۲]. تیموراگالو^۳ و همکاران در سال ۲۰۱۷ مقایسه ای بین مدل های تحلیلی میان قاب های بنایی انجام دادند، آنها از نتایج تحلیلی دریافتند که روش مدل سازی با دستک فشاری معادل تنها روش ساده و مؤثر برای نشان دادن رفتار کلی قاب بتن مسلح میان پر است [۱۳]. کاریم^۴ و همکاران در سال ۲۰۱۸ دو روش مدل سازی ماکرو مدل دستک فشاری قطری معادل و مدل سازی گسیله دو بعدی قاب میان پر را بررسی و با یکدیگر مقایسه کردند و دریافتند بین دو روش تفاوت هایی از جمله منحنی ظرفیت و حالت های شکست میان قاب وجود دارد [۱۴].

هدف از این مقاله بررسی عملکرد لرزه ای قاب بتی و قاب میان پر با جزئیات لرزه ای^۵ و غیر لرزه ای^۶ با بررسی تأثیر همزمان سطوح

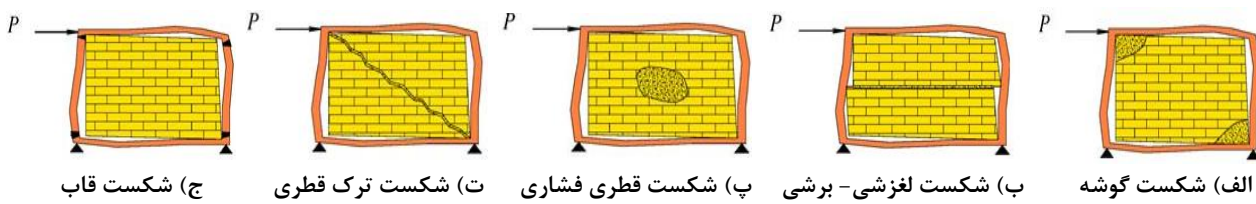
1 Nasiri

2 Timuragaoglu

3 Kareem

4 Seismic

5 Non-Seismic



شکل ۴. حالت‌های مختلف شکست قاب میان‌پر مصالح بنایی [۱۷]

Fig. 4. Different failure modes of infill-frame masonry. a) Corner crushing, b) Sliding shear crushing, c) Diagonal compression crushing, d) Diagonal cracking, e) Frame failure

۱-۲- شکست قاب میان‌پر با مصالح بنایی

بر اساس مطالعات تحلیلی و آزمایشگاهی انجام شده بر روی قاب‌های میان‌پر مصالح بنایی، شکست‌های مختلفی شناسایی و طبقه بندی شده‌اند. به طور کلی رفتار قاب میان‌پر مصالح بنایی با رفتار قاب بتُنی تنها متفاوت است؛ زمانی که قاب بتُنی دارای میان‌قاب مصالح بنایی است، اعضای قاب مجالی برای عملکرد خمشی نمی‌یابد. افزایش سختی و مقاومت نهایی را می‌توان از دیگر تفاوت‌های رفتاری قاب میان‌پر و قاب تنها دانست که سبب وقوع مکانیزم‌های متفاوت شکست نیز می‌شود که نشان دهنده نوع اندرکنشی در رفتار اجزای قاب میان‌پر است. شکست قاب میان‌پر به دو گروه شکست خارج از صفحه و داخل صفحه تقسیم می‌شوند، در حالت شکست داخل صفحه عموماً یکی از شکست‌های زیر رخ می‌دهد:

۱-۱-۲- شکست گوشه^۱: شکست گوشه در یکی از گوشه‌های

میان‌قاب که بارگذاری شده اتفاق می‌افتد شکل ۴-الف. این شکست بیشتر در قاب‌های میان‌پر با اعضای قوی و مصالح بنایی ضعیف رخ می‌دهد. هرچه قاب نسبت به میان‌قاب قوی‌تر باشد، نیروی اندرکنشی در سطح وسیع‌تری بین قاب و میان‌قاب توزیع می‌شود، در نتیجه مقاومت گوشه‌ها افزایش پیدا می‌کند و ناحیه‌ای که خرد شده بزرگ‌تر می‌شود. علاوه بر آن شکست گوشه در نیروهای جانی بالا رخ می‌دهد، رفتار قاب میان‌پر قبل و بعد از شکست گوشه غیر خطی است [۱۷].

۲-۱-۲- شکست لغزشی و برشی^۲: شکل ۴-ب نشان دهنده گسیختگی برشی-لغزشی افقی در طول اتصالات زیرین میان‌قاب‌های مصالح بنایی است. این شکست بیشتر در میان‌قاب‌هایی با ملات ضعیف و قاب قوی اتفاق می‌افتد، در واقع ترک قطربی از میان آجر

مخالف شامل جزئیات لرزه‌ای و غیر لرزه‌ای و تأثیر سطوح بار محوری و ضخامت میان‌قاب بر عملکرد لرزه‌ای قاب‌های بتُن مسلح و قاب‌های بتُن مسلح میان‌پر مصالح بنایی بررسی شده است.

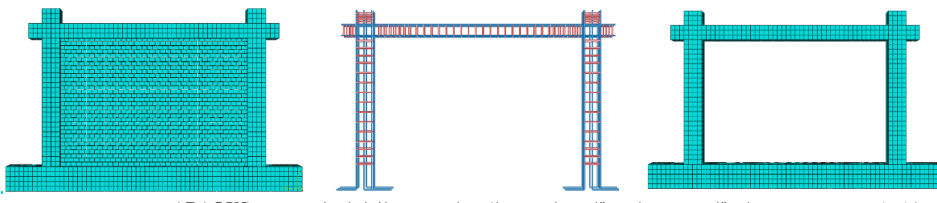
۲- معرفی مدل آزمایشگاهی اولیه برای صحت سنجی

مدل تحلیلی

برای این مقاله از مدل آزمایشگاهی که توسط منصوری و همکاران [۱۶] ساخته شده بود، برای صحت سنجی استفاده شده است. در کار آزمایشگاهی منصوری و همکاران یک قاب بتُنی یک طبقه-یک دهانه و یک قاب میان‌پر مصالح بنایی با مقیاس ۱:۲ تحت بار جانبی درون صفحه قرار گرفته است. قاب غیر لرزه‌ای مذکور نماینده ساختمان‌های بتُن مسلح موجود بوده و دارای نواقصی است، از جمله محل وصله آرماتورهای طولی ستون در پای آن و طول وصله با توجه به روش رایج در ساخت ساختمان‌های بتُنی مورد نظر معادل 40 db در نظر گرفته شده است؛ ناحیه اتصال تیر و ستون فاقد خاموت بوده و ضوابط آرماتورگذاری عرضی ویژه برای تأمین شکل‌پذیری در نواحی بحرانی اعضا رعایت نشده است. برای تعیین مشخصات مصالح نمونه‌های آزمایشگاهی بر روی نمونه‌ها، استانداردهای ASTM استفاده شده است. برای تعیین مشخصات مکانیکی میلگردها، آزمایش کشش مستقیم بر روی هر دو نوع میلگرد استفاده شده، در ساخت قاب بتُنی انجام شده است و در زمان بتن‌ریزی مقاومت فشاری بر روی هر یک از قطعات بتُنی انجام شده است. شکل ۲ مشخصات کلی نمونه قاب میان‌پر مصالح بنایی و شکل ۳ مشخصات اجرایی قاب بتُن مسلح غیر لرزه‌ای را نشان می‌دهد. همچنین در جدول ۱ میانگین مشخصات مصالح مورد استفاده آورده شده است. ابعاد میان‌قاب که در داخل قاب بتُنی قرار گرفته برابر با $2100 \times 1300 \times 106$ و ابعاد آجر $49 \times 31 \times 106$ به ترتیب (ضخامت×ارتفاع×طول) بر حسب میلی‌متر است [۱۶].

1 Corner Crushing

2 Sliding Shear Crushing



شکل ۵: مش بندهای نمونه‌های قاب بتن مسلح و قاب میان‌پر مصالح بنایی در نرم‌افزار اجزای محدود ABAQUS

شکل ۵. مش بندهای نمونه‌های قاب بتن مسلح و قاب میان‌پر مصالح بنایی در نرم‌افزار اجزای محدود ABAQUS

Fig. 5. Meshing RC frame and infill-frame masonry specimens in ABAQUS finite element software.

ABAQUS محدود

نرم‌افزاری که از آن جهت مدل‌سازی و صحبت‌سنگی نمونه‌های آزمایشگاهی استفاده شده است، نرم‌افزار تحلیل اجزای محدود ABAQUS است. این نرم‌افزار دارای چندین نوع المان است، برای هر مدل باید المان مناسب انتخاب کرد، تأثیرات حاصل قابل اطمینان باشد. در این مقاله از المان SOLID C3D8R برای مدل‌سازی قاب بتونی و آجر بنایی و از المان TRUSS T3D2 برای مدل‌سازی خاموت تیر و ستون و میلگردهای طولی و عرضی استفاده شده است. در مدل‌سازی تحلیلی مشخصات و ویژگی‌های المان‌های مورد استفاده مشابه کارهای تحقیقاتی گذشته، توسط محققین مختلف انتخاب گردیده است [۱۸-۲۰]. میلگردهای مورد استفاده در مدل‌سازی در داخل بتون مدفون شده است. مش بندهای نمونه‌های قاب بتونی و قاب میان‌پر در شکل ۵ نشان داده شده است در نمونه‌های قاب بتونی در هر المان ابعاد مش‌ها به این صورت که بتون ۵۰ میلی‌متر و آرماتورهای (ميلگردهای طولی و عرضی و خاموتهای تیر و ستون) ۲۵ میلی‌متر و در نمونه‌های قاب میان‌پر بتون و آجر ۵۰ میلی‌متر، آرماتورهای (ميلگردهای طولی و عرضی و خاموتهای تیر و ستون) ۲۵ میلی‌متر است و آنالیز خطای مش هم ۰٪ است.

۱- روش‌های مدل‌سازی ساختار مصالح بنایی

برای مدل‌سازی ساختار مصالح بنایی سه رویکرد وجود دارد: ۱- رویکرد همگن ماکرو^۳ (درشت بینانه) ۲- رویکرد غیرهمگن میکرو^۴ (ریز بینانه) ۳- رویکرد مزو^۵ (بین مقیاس ماکرو و میکرو است).

3 Embedded

4 Macro Modeling

5 Micro Modeling

6 Meso Modeling

عبور نمی‌کند، چون ملات ضعیف است ولی از میان ملات درزهای افقی و قائم عبور نمی‌کند، بنابراین لغزش افقی و قائم اتفاق می‌افتد و شکست از نوع برشی است [۱۷].

۳-۱-۲- شکست قطری فشاری: شکل ۴-پ نشان دهنده شکست میان‌قاب در ناحیه میانی آن است. این شکست به علت کمانش خارج از صفحه میان‌قاب که بیشتر در میان‌قاب نسبتاً لاغر اتفاق می‌افتد، در نتیجه نایابی‌داری ناشی از کمانش خارج از صفحه میان‌قاب به وجود می‌آید [۱۷].

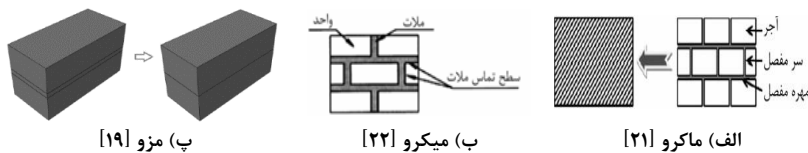
۴-۱-۲- شکست ترک قطری: همان‌طور که در شکل ۴-ت مشاهده می‌شود شکست ترک قطری دو گوشه بارگذاری شده را به هم متصل می‌کند، این شکست بیشتر در قاب‌های ضعیف با قاب‌هایی با اتصالات ضعیف و اعضای قوی و دارای میان‌قاب‌های نسبتاً قوی اتفاق می‌افتد. این نوع میان‌قاب‌ها ملات بسیار قوی دارند که ملات مانع از عبور ترک از میان درزهای افقی و قائم می‌شود، این شکست از نوع کششی است در حالی که در میان‌قاب‌هایی با ملات ضعیف ترک قطری از آجر عبور نمی‌کند و شکست قطری از نوع برشی است [۱۷].

۵-۱-۲- شکست قاب: همان‌طور که در شکل ۴-ج مشاهده می‌شود شکست قاب به صورت ایجاد مفاصل پلاستیک در ستون یا محل اتصال تیرها و ستون‌ها اتفاق می‌افتد؛ این شکست بیشتر در قاب‌های ضعیف یا قاب‌هایی با اتصالات ضعیف و اعضای قوی و دارای میان‌قاب نسبتاً قوی هستند و یا در ستون قاب‌های بتونی میان‌پر شکست برشی رخ می‌دهد [۱۷].

۳ - مدل‌سازی دیوارهای مصالح بنایی در نرم‌افزار اجزای

1 Diagonal Compression Crushing

2 Diagonal cracking



شکل ۶. روش های مدل سازی دیوار مصالح بنایی

Fig. 6. Modeling methods of masonry wall. a) Macro, b) Micro, c) Meso

پارامترهای مدل سازی، کلیه شرایط دخیل در نتایج تحلیل را در مقایسه با روش میکرو ندارد. در مدل سازی میکرو لازم است تا تمام مشخصات مکانیکی مصالح و مشخصات سطوح تماس بر اساس نتایج آزمایشگاهی کالیبره و صحت سنجی شود، که این مورد عملأ در تحقیقات آزمایشگاهی اتفاق نمی افتد. بنابراین با توجه به مزایا و معایب هر کدام از روش های میکرو و ماکرو، برای مدل سازی واقع بینانه و دقیق میان قاب های مصالح بنایی و همچنین در نظر گرفتن پارامترهای مختلف در مدل سازی از مقیاس مزو استفاده شده است.

۲-۳- روش های تحلیل مدل عددی مصالح بنایی

دو نوع تحلیل در نرم افزار ABAQUS برای میان قاب های مصالح بنایی وجود دارد: ۱- تحلیل صریح^۱، ۲- تحلیل غیر صریح^۲.

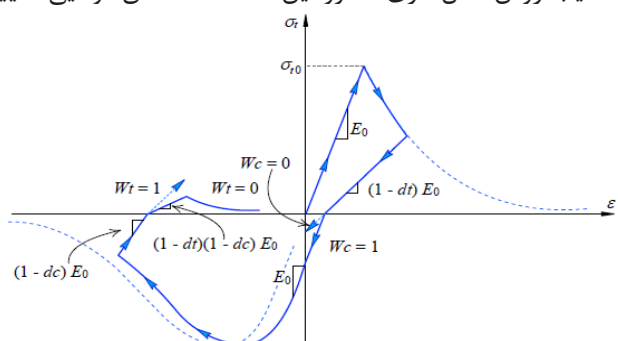
بعضی از محققین با استفاده از تحلیل غیر صریح رفتار دیوارهای مصالح بنایی را شبیه سازی کردند؛ اگر چه این تحلیل های اجزای محدود دید خوبی در راستای رفتار این دیوارهای مصالح بنایی ارائه می دهد، اما بسیار زمان بر هستند و در عین حال در ترم های زمان به کار برده شده است و برای تحلیل های پیچیده ناکارآمد می باشد. علت آن این است که در تکنیک های غیر صریح باید معادلات تعادل شامل ماتریس سختی کل سازه را حل کرد، که بسیار وقت گیر است. زمانی که دیوار بنایی دچار ترک می شود به دلیل بد خیمی ماتریس سختی، همگرا نمودن مسئله دشوار است و برای حل این مشکل، از تکنیک مدل سازی اجزای محدود صریح استفاده کردند. تحلیل صریح بر اساس ماتریس جرم کار می کند و مسئله را گره به گره حل می کند و به ماتریس سختی دیگر احتیاجی ندارد. در این مقاله از روش دینامیکی تحلیل صریح استفاده شده است. سازه های مصالح بنایی به علت افزایش تعداد المان ها و کوچک تر شدن اندازه

۱-۱-۱- رویکرد همگن ماکرو: دیوار آجری متشكل از سه جزء اصلی از جمله آجر، ملات، سطح تماس آجر و ملات می باشد. در مدل سازی ماکرو، مانند شکل ۶-الف آجر و ملات به صورت یک جسم همگن در نظر گرفته می شود [۲۱].

۲-۱-۳- رویکرد غیر همگن میکرو: آجر و ملات به صورت جداگانه مدل می شود مطابق شکل ۶-ب و برای هریک از آنها مشخصات مکانیکی و رفتار مربوط به نرم افزار داده می شود [۲۲].

۳-۱-۳- رویکرد مزو: رویکرد مزو از لحاظ سطح دقت و مقدار محاسبات مورد نیاز و مدل سازی در مقیاس مزو بین تحلیل در مقیاس میکرو و ماکرو قرار می گیرد. در این روش ملات عملأ نقشی نداشته و نقش اصلی را المان حد فاصل (رابط) و المان بنایی ایفا می کند. مطابق شکل ۶-پ به علت ضخامت صفر المان در این روش ابعاد هندسی المان آجر باید افزایش یابد، تا هندسه کلی بدون تغییر باقی بماند. ضخامت ملات را در این روش از ۵ تا ۱۰ میلی متر در نظر می گیریم [۱۹].

یکی از مزیت های روش مدل سازی ماکرو ساده سازی و حجم محاسبات کمتر در مقایسه با مدل سازی میکرو می باشد، و از طرفی از معایب روش مدل سازی ماکرو این است که محقق توانایی تغییر



شکل ۷. رفتار بتن در بارگذاری تک محوره [۲۳]

Fig. 7. Concrete behavior in uniaxial loading.

1 Dynamic Explicit

2 Dynamic Implicit

جدول ۲. مشخصات مکانیکی بتن آسیب دیده پلاستیک واحد بنایی نمونه‌های تحلیلی

Table 2. Mechanical specification of concrete damaged plastic masonry unit analytical specimens.

| نمونه‌های مرجع | مصالح | Dilation Angle | Eccentricity | σ_{b0}/σ_{c0} | K | Viscosity Parameter |
|--------------------|------------|----------------|--------------|---------------------------|-------|---------------------|
| NS-T0-P0.1-FRAME | بتن | ۳۰ | ۰/۱ | ۱/۱۶ | ۰/۶۶۷ | ۰/۰۰۱ |
| NS-T100-P0.1-SOLID | بتن آجر | ۳۰ ۱۰ | ۰/۱ | ۱/۱۶ | ۰/۶۷ | ۰/۰۰۱ |

جدول ۳. مشخصات مکانیکی المان سطح تماسی

Table 3. Mechanical specification of interface context.

| خواص | رفتار کشش-جداشدنی | | | | | | | $\mu = \tan \phi$ | |
|-------|-------------------|------------------------------------|---------------|-------|----------|----------|----------|-------------------|--|
| | شروع خرابی | | $C = 1.4 f_t$ | f_t | K_{nn} | K_{ss} | K_{tt} | | |
| | نکامل خرابی | G_f^I (N.mm/mm ²) | | | | | | | |
| SOLID | ۰/۰۱۲ | ۰/۰۵ | ۰/۱۶ | ۰/۲۴ | ۱۱۰ | ۵۰ | ۵۰ | Hard | |

اثرات آن (اصطکاک و چسبندگی) در قالب تعریف اندرکنش^۳ بین آجرها شبیه‌سازی شده است.

آجرها به صورت ردیف‌های جداگانه مدل شده است و رفتار اندرکنشی بین آجرها که ناشی از ملات بوده ودارای دو خاصیت رفتاری‌اند: ۱- چسبندگی در فازهای کششی و برشی ۲- اصطکاک در فاز برشی می‌باشد.

به این ترتیب مقاومت فشاری ملات و اثر ترکیبی آن بر روی منشور بنایی به خودی خود در نظر گرفته نمی‌شود، در راستای در نظر گیری این اثر باید به جای تعریف خصوصیات مکانیکی آجر بر روی آجرها، خصوصیات مکانیکی منشور بنایی تعریف گردد که این خصوصیات در هر ردیف به طور جداگانه در هر دو جهت افقی و قائم لحاظ شده است. مدول الاستیسیته مربوط به مصالح بنایی داخل کشور عدد نسبتاً بالایی بوده است که از آزمایش منشور بنایی به دست می‌آید. میزان مدول الاستیسیته مصالح بنایی معمولاً بر اساس مقاومت فشاری منشور بنایی تعیین می‌شود. بطور مثال استاندارد FEMA ۳۵۶ [۱۵]، رابطه (۱) را برای بدست آوردن این پارامتر پیشنهاد می‌دهد:

$$f'_c = \text{ مقاومت فشاری مصالح آجری با واحد MPa} \text{ است.}$$

$$E = f'_c * 550 \quad (1)$$

آنها، با زمان تحلیل رابطه خطی دارد. در این مقاله برای تحلیل‌ها به دلیل زمان بر بودن تحلیل دینامیکی صریح از مقیاس جرمی^۱ استفاده شده است.

ABAQUS -۳-۳ معرفی مصالح در نرم‌افزار اجزای محدود

جهت تعریف مصالح بتنی و دیوار مصالح بنایی از بتن آسیب دیده پلاستیک^۲ استفاده شده است، مدل آسیب دیده پلاستیک قابل استفاده برای بتن و سایر مصالح ترد و شکننده تحت تأثیر بارگذاری یکطرفه و رفت و برگشتی می‌باشد؛ با توجه به نوع میان‌قاب انتخابی و شرایط بارگذاری در این مقاله گزینه مناسبی می‌باشد. مدل بتن آسیب دیده پلاستیک تکنیکی است که قابلیت نشان دادن رفتار غیر خطی و خصوصیات بحرانی مواد شبیه ترد همانند بتن را دارد، که برای در هر دو تحلیل استاتیکی و دینامیکی قابل استفاده است، در این مدل فرض بر این است که ترک کششی و خردشیدگی فشاری دو جبهه اصلی مکانیسم گسیختگی بتن می‌باشد، (شکل ۷).

از آنجا که روش مورد استفاده در این مقاله برای مدل‌سازی ساختار مصالح بنایی در نرم‌افزار اجزای محدود ABAQUS رویکرد مزو است، که در آن ملات به صورت مستقیم مدل‌سازی نشده است و به صورت المان تماسی که تنها

1 Mass Scaling

2 Concrete Damage Plasticity

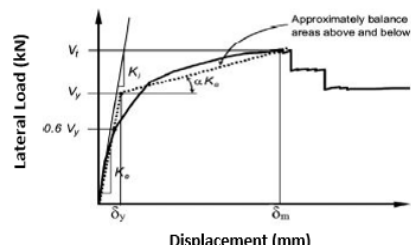
هیدرواستاتیک را با زاویه 90° درجه قطع می‌کند که تحت این شرایط، این تابع در واقع یک منحنی خواهد بود. مقدار این پارامتر اگر بسیار کوچک در نظر گرفته شود، باعث واگرایی حل در مراحل اولیه خواهد شد.

σ_{b0}/σ_c نسبت تنش فشاری حداکثر دو محوره به تک محوره است، مقدار این پارامتر بین ۱ تا $1/27$ متغیر است. هرچه این مقدار بیشتر باشد ماده رفتار سخت‌تری از خود نشان خواهد داد [۲۳].

پارامتر K در واقع شکل مقطع عرضی سطوح بارگذاری را تعیین می‌کند، مقدار این پارامتر بین $0/5$ تا ۱ است. اگر مقدار این پارامتر برابر با یک در نظر گرفته شود، شکل مقطع عرضی سطح تسليم شبیه دراکر-پرآگر می‌گردد [۲۵].

پارامتر ویسکوزیته α در تحلیل اجزای محدود بر اساس تئوری بتن آسیب دیده پلاستیک دارای پتانسیل بسیار زیادی برای واگرایی زودرس است. دلایل بسیار زیادی برای این مسئله می‌توان بیان کرد، که مهمترین آنها کاهش سختی بسیار شدید پس از ترک خوردگی و تغییرات شبیب بسیار زیاد در مقطع عرضی سطح تسليم است. دووات و لیونز برای حل این مشکل پیشنهاد کردنده که ماده بتن، به صورت یک ماده ویسکوپلاستیک در نظر گرفته می‌شود. این موضوع باعث می‌شود که در طی به دست آمدن معادلات در هر مرحله، یک زمان آرامش وجود داشته باشد. وجود این زمان آرامش باعث می‌شود که حساسیت حل نسبت به سطوح تسليم کاهش یابد و در نتیجه مشکلات همگرایی تا حدی بهبود یابد. طبیعی است که مقدار این زمان آرامش باید به حدی کوچک باشد که بتوان از تأثیرات آن بر پاسخ کلی سازه صرف نظر کرد.

برای مدل‌سازی نمونه‌های تحلیلی در نرم‌افزار ABAQUS از رویکرد مزو استفاده شده است. که در این رویکرد مدل‌سازی، ملات بین آجرها مدل نمی‌شود و صرفاً رفتار اندرکنشی بین آجرهای مجاور تعریف می‌گردد. بخش عمده رفتار تماسی بین آجرها ناشی از مشخصات مکانیکی ملات می‌باشد که دو مشخصه رفتاری، چسبندگی در فازهای کششی و برشی و اصطکاک در فازهای برشی بايستی در مدل تحلیلی تعیین شود. برای این منظور رفتار تماسی برشی آجرهای مجاور، مقدار ضریب اصطکاک ایستایی بین آجرها تعریف



شکل ۸. دوخطی سازی نمودار نیرو-تغییرمکان با روش FEMA356

Fig. 8. Bilinearization of force-displacement curve using FEMA356 method.

مشخصات اولیه مصالح بتنی و آجری از جمله مقاومت فشاری، مدول الاستیستیته، چگالی و ضریب پواسون بر اساس مقاله منصوری و همکاران [۱۶] انتخاب گردیده است.

به منظور صحت سنجی بین نتایج تحلیلی و نتایج آزمایشگاهی و انطباق منحنی‌های بار-تغییرمکان نمونه‌های تحلیلی و آزمایشگاهی برای تعریف رفتار بتن آسیب دیده پلاستیک در نرم‌افزار اجزای محدود ABAQUS پارامترهای نظیر زاویه اتساع، خروج از مرکزیت، انرژی شکست در کشش و برش، سختی ملات در کشش و برش، ضریب اصطکاک با انجام آنالیزهای زیادی انتخاب گردید که نتایج نهایی آن در جدول ۲ و ۳ ارائه گردید.

قابل به ذکر است که مشخصات بتن در مدل رفتاری بتن آسیب دیده پلاستیک در حالت قاب بتن مسلح و قاب بتن مسلح میان پر با یکدیگر هیچ تفاوتی ندارد.

زاویه اتساع^۱ مقدار بلند شدگی در اثر تغییر شکل برشی را مشخص می‌کند، در این نمونه به دلیل اینکه شرایط مرزی دیوار به صورتی است که از تغییر شکل قائم (بلند شدگی) آن ممانعت به عمل می‌آید. لذا هر چقدر زاویه اتساع بزرگتری برای ماده تعریف شود به نیروی برشی بزرگتری نیاز هست که بتواند تغییر شکل برشی لازم را برای اتساع مورد نظر به وجود آورد. لذا با افزایش زاویه اتساع میزان حداکثر نیروی تحمل شده در دیوار نیز افزایش می‌یابد [۲۴]. زاویه اتساع بتن عددی بین ۳۰ تا ۳۵ است که در این مقاله عدد ۳۰ در نظر گرفته شده است.

خروج از مرکزیت^۲، تابع پتانسیل جریان در ابتدا محور افقی تنش

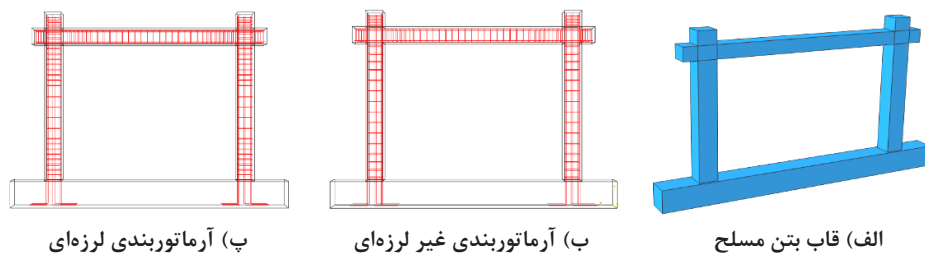
1 Dilation Angle

2 Eccentricity

جدول ۴. مشخصات نمونه تحلیلی قاب بتن مسلح

Table 4. Specifications of reinforced concrete frame analytical specimen.

| | نام نمونه تحلیلی غیر لرزه‌ای | نام نمونه تحلیلی لرزه‌ای | (N/mm ²) بار محوری |
|------------------|------------------------------|--------------------------|--------------------------------|
| NS-T0-P0.1-FRAME | ۲/۱۹ | S-T0-P0.1-FRAME | ۲/۱۹ |
| NS-T0-P0.2-FRAME | ۴/۳۸ | S-T0-P0.2-FRAME | ۴/۳۸ |
| NS-T0-P0.3-FRAME | ۶/۵۷ | S-T0-P0.3-FRAME | ۶/۵۷ |



شکل ۹. مدل‌سازی قاب با مشخصات لرزه‌ای و غیر لرزه‌ای بتن مسلح

Fig. 9. Modeling of reinforced concrete frame with seismic and non-seismic properties. a) Reinforced concrete frame, b) Non-seismic reinforcement, c) Seismic reinforcement

گردید و سایر مشخصات مکانیکی المان در سطح تماس بین آجرها

در جدول ۳ ارائه شده است [۲۰]:

۴- معرفی مدل‌های تحلیلی

در سازه‌های بتن مسلح در واقع سطح بار محوری ستون کمتر از $f_y^c / 15$ به عنوان بار محوری ستون‌ها است که نشان دهنده بار محوری کم است. در این مقاله برای در نظر گرفتن سطوح مختلف بار محوری و تأثیر آن در مشخصات لرزه‌ای مدل‌های تحلیلی سطح بار محوری $f_y^c / 10$ به عنوان بار محوری کم و سطح بار محوری $f_y^c / 20$ به عنوان بار محوری متوسط و سطح بار محوری $f_y^c / 30$ به عنوان بار محوری زیاد در ستون‌ها در نظر گرفته شده است.

۴-۱- معرفی قاب بتن مسلح با جزئیات لرزه‌ای و غیر لرزه‌ای

سه نمونه قاب بتن مسلح غیر لرزه‌ای، با مشخصات ابعادی نمونه آزمایشگاهی که در شکل ۳ نشان داده شده است، تحت سطوح مختلف بار محوری $0/1$, $0/2$ و $0/3$ ظرفیت فشاری ستون‌ها مدل شده است. همچنین سه نمونه قاب بتن مسلح با مشخصات لرزه‌ای بر اساس ضوابط لرزه‌ای مبحث نهم مقررات ملی ساختمان طراحی و مدل‌سازی شدند، برای طراحی لرزه‌ای قاب‌های بتُنی در طولی معادل

۴-۲- نحوه دو خطی نمونه‌های تحلیلی

برای دو خطی کردن نمودارهای نیرو-تغییر مکان از روش FEMA ۳۵۶ [۱۵] همان‌طور که در شکل ۸ نشان داده شده است. در این روش جایه‌جایی متناظر با مقاومت نهایی سازه δ_m ، سختی مؤثر K_e ، شکل‌پذیری μ به دست می‌آید. برای محاسبه این پارامترها از رابطه (۲) و (۳) استفاده می‌شود:

$$K_e = \frac{V_y}{\delta_y} \quad (2)$$

$$\mu = \frac{\delta_m}{\delta_y} \quad (3)$$

مقاومت تسلیم بر حسب کیلونیوتون، V_y جایه‌جایی متناظر با مقاومت تسلیم بر حسب میلی‌متر و δ_m جایه‌جایی متناظر با حداکثر مقاومت سازه بر حسب میلی‌متر است. بیشترین مقدار بار جانبی نمودار نیرو-تغییر مکان دو خطی شده به ما پارامتر تغییر مکان هدف با همان تغییر مکان نهایی را می‌دهد.

جدول ۵. مشخصات نمونه قاب بتونی مسلح میان پر با مصالح بنایی (آجری)

Table 4. Specifications of infill-frame masonry of analytical specimen.

| | نام نمونه تحلیلی لرزه‌ای | ضخامت (mm) | نام نمونه تحلیلی لرزه‌ای | بار محوری (N/mm ²) | ضخامت (mm) | نام نمونه تحلیلی لرزه‌ای | بار محوری (N/mm ²) |
|--------------------|--------------------------|------------|--------------------------|--------------------------------|------------|--------------------------|--------------------------------|
| NS-T100-P0.1-SOLID | ۱۰۰ | ۲/۱۹ | S-T100-P0.1-SOLID | ۱۰۰ | ۲/۱۹ | | |
| NS-T100-P0.2-SOLID | ۱۰۰ | ۴/۳۸ | S-T100-P0.2-SOLID | ۱۰۰ | ۴/۳۸ | | |
| NS-T100-P0.3-SOLID | ۱۰۰ | ۶/۵۷ | S-T100-P0.3-SOLID | ۱۰۰ | ۶/۵۷ | | |
| NS-T50-P0.1-SOLID | ۵۰ | ۲/۱۹ | S-T50-P0.1-SOLID | ۵۰ | ۲/۱۹ | | |
| NS-T50-P0.2-SOLID | ۵۰ | ۴/۳۸ | S-T50-P0.2-SOLID | ۵۰ | ۴/۳۸ | | |
| NS-T50-P0.3-SOLID | ۵۰ | ۶/۵۷ | S-T50-P0.3-SOLID | ۵۰ | ۶/۵۷ | | |

جدول ۶. نامگذاری نمونه‌های تحلیلی

Table 6. Nomenclature of analytical specimens.

| علامت مشخصه در نامگذاری | توضیح |
|-------------------------|---|
| NS | قاب بتون مسلح با جزئیات غیر لرزه‌ای |
| S | قاب بتون مسلح با جزئیات لرزه‌ای |
| T | ضخامت میان قاب مصالح بنایی ۵۰، ۱۰۰ میلی‌متر |
| P | بارهای محوری ۰/۱، ۰/۲ و ۰/۳ ظرفیت فشاری ستون‌ها |
| SOLID | قاب میان پر مصالح بنایی |
| FRAME | قاب بتون مسلح بدون میان قاب مصالح بنایی |

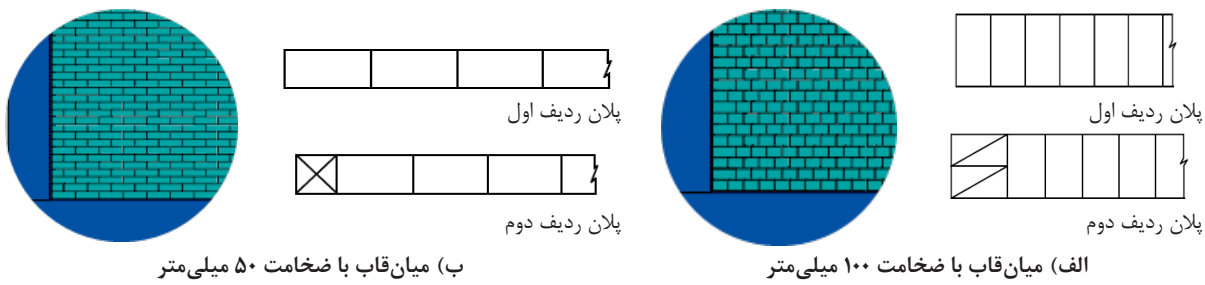
شده است و میان قاب مصالح بنایی که ضخامت آن ۵۰ میلی‌متر است مانند شکل ۱۰-۱ ب آجر چینی شده است. در نمونه‌های تحلیلی مانند نمونه‌های آزمایشگاهی ضخامت میان قاب با مقیاس ۲:۱ مدل شده است، در واقعیت ضخامت میان قاب ۱۰۰ میلی‌متر و ۲۰۰ میلی‌متر است که نشان دهنده ضخامت‌های دیوارهای خارجی و داخلی در ساختمان‌های موجود هستند. علاوه بر آن بین میان قاب مصالح بنایی و قاب بتونی هیچ فاصله و درزی وجود ندارد و در نرمافزار اجزای محدود ABAQUS به صورت تای^۱ مدل شده است. در جدول ۶ نحوه نامگذاری نمونه‌های تحلیلی ارائه شده است.

۵- کالیبره کردن و صحت سنجی مدل تحلیلی

ابتدا به بررسی چگونگی رفتار قاب بتون مسلح غیر لرزه‌ای یک طبقه-یک دهانه و یک قاب بتون مسلح لرزه‌ای یک طبقه-یک دهانه و یک قاب بتون مسلح میان پر مصالح بنایی (آجری) ساخته شده در آزمایشگاه سازه که تحت بار جانبی یک طرفه قرار گرفته پرداخته شده است. در نمونه‌های آزمایشگاهی معیار تعیین مکان نهایی برای قاب بتون مسلح و قاب بتون مسلح میان پر با مصالح بنایی بر اساس

دو برابر ارتفاع مقطع از بر تکیه‌گاه به سمت وسط دهانه هم در تیر و هم در ستون خاموت‌ها به فاصله ۵۰ میلی‌متر از هم قرار می‌گیرد و در قسمت اتصال تیر به ستون خاموت ویژه در ستون با حداقل فاصله ۵۰ میلی‌متر باید قرار بگیرد [۲۶]. برای این قاب‌های لرزه‌ای تحت سطوح مختلف بار محوری ۰/۱، ۰/۲ و ۰/۳ ظرفیت فشاری ستون‌ها قرار گرفته است. نامگذاری و مشخصات بارگذاری نمونه‌های قاب بتون مسلح لرزه‌ای و غیر لرزه‌ای در جدول ۴ آمده است، مقدار بار محوری به صورت فشاری در بالای هر کدام از ستون‌های قاب وارد شده است. شکل ۹ نشان دهنده قاب بتون مسلح و شمای آرماتور بندی لرزه‌ای و غیر لرزه‌ای است.

۴-۲- معرفی قاب بتون مسلح میان پر با مصالح بنایی (آجری)
نمونه‌های قاب بتون مسلح میان پر با مصالح بنایی (آجری)، سه نمونه اول تحت سطوح مختلف بار محوری ۰/۱، ۰/۲ و ۰/۳ ظرفیت فشاری ستون‌ها و ضخامت میان قاب مصالح بنایی ۱۰۰ میلی‌متر و قاب بتونی غیر لرزه‌ای است. سه نمونه دوم تحت سطوح مختلف بار محوری ۰/۱، ۰/۲ و ۰/۳ ظرفیت فشاری ستون‌ها و ضخامت میان قاب مصالح بنایی ۱۰۰ میلی‌متر و قاب بتونی لرزه‌ای است. سه نمونه سوم تحت سطوح مختلف بار محوری ۰/۱، ۰/۲ و ۰/۳ ظرفیت فشاری ستون‌ها و ضخامت میان قاب مصالح بنایی ۵۰ میلی‌متر و قاب بتونی غیر لرزه‌ای است. سه نمونه چهارم تحت سطوح مختلف بار محوری ۰/۱، ۰/۲ و ۰/۳ ظرفیت فشاری ستون‌ها و ضخامت میان قاب مصالح بنایی ۵۰ میلی‌متر و قاب بتونی لرزه‌ای است. در جدول ۵ نام نمونه‌ها و مقادیر بار محوری که به صورت فشاری در بالای هر کدام از ستون‌های قاب بتونی وارد شده و ضخامت میان قاب مصالح بنایی که در داخل قاب قرار گرفته، آمده است. نمونه‌هایی که ضخامت میان قاب مصالح بنایی آنها برابر با ۱۰۰ میلی‌متر است، مانند شکل ۱۰-الف آجر چینی



شکل ۱۰. الگوی آجر چینی نمونه قاب میان پر مصالح بنایی با ضخامت‌های مختلف

Fig. 10. Brick pattern of infill-frame masonry specimens with different thickness. a) Infill with 100mm thickness, b) Infill with 50mm thickness

کیلونیوتون، سختی مؤثر $2/8$ کیلونیوتون بر میلی‌متر، شکل‌پذیری $2/15$ است؛ در نمونه تحلیلی مقاومت نهایی 70 کیلونیوتون، سختی مؤثر $3/4$ کیلونیوتون بر میلی‌متر، شکل‌پذیری $2/5$ است. درصد اختلاف پارامترهای مورد نظر نمونه تحلیلی نسبت به نمونه آزمایشگاهی هر کدام به ترتیب برابر با $\%21/4$ ، $\%21/4$ ، $\%16/27$ است. در نمونه شاهد آزمایشگاهی آسیب‌هایی از جمله ایجاد مفصل پلاستیک در انتهای تیرها و بعد از آن در انتهای ستون‌ها و ترک‌هایی در قسمت اتصال تیر و ستون مشاهده شده است.

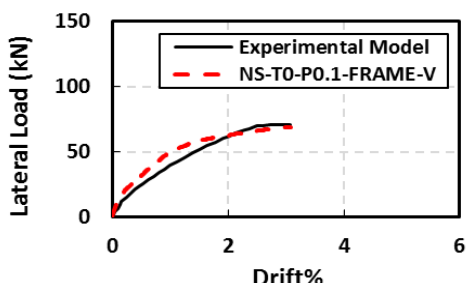
با توجه شکل ۱۲-الف خرابی در نمونه شاهد NS-T0-P0.1-FRAME-V در جایه‌جایی نسبی 3 درصد که در آزمایشگاه مشاهده شده است، در شکل ۱۲-ب تغییر شکل‌های پلاستیک PE و شکل ۱۲-پ-ت-ج به ترتیب تنش ون میسر، خرابی در فشار و خرابی در کشش را نشان می‌دهد.

۲-۵- صحت سنجی نمونه مدل‌سازی شده قاب بتن مسلح با

دستورالعمل ۱۱-الف ACI T1,1-۰۱ [۲۷] انتخاب شده است. قاب بتُنی با استفاده از تحلیل استاتیکی غیر خطی و قاب میان پر مصالح بنایی با استفاده از تحلیل دینامیکی صریح و مدل‌سازی مزو تحلیل شده و نتایج حاصل از کار عددی با نتایج آزمایشگاهی مقایسه شده است، نتایج دارای تطابق قابل قبولی به لحاظ پارامترهای رفتاری هستند.

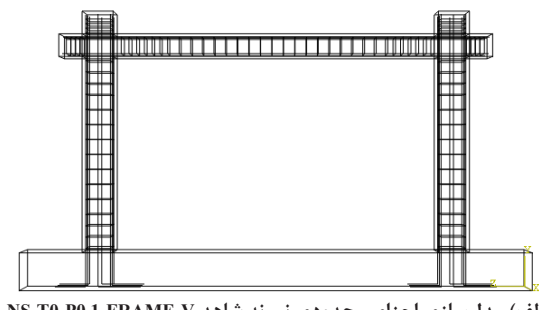
۱-۵- صحت سنجی نمونه مدل‌سازی شده قاب بتن مسلح با جزئیات غیر لرزه‌ای

در شکل ۱۱-الف قاب شاهد آزمایشگاهی با جزئیات غیر لرزه‌ای تحت بار محوری $1/0$ ظرفیت فشاری ستون‌ها در نرم‌افزار ABAQUS مدل‌سازی شده و با تحلیل استاتیکی غیر خطی تحت بارگذاری یک طرفه با حداقل جایه‌جایی نسبی $6/3\%$ تحلیل شده است. شکل ۱۱-ب سطح زیر نمودار نیرو-تغییرمکان آزمایشگاهی و تحلیلی نمونه NS-T0-P0.1-FRAME-V با اختلاف سطح $7/3\%$ را نشان می‌دهد، در جدول ۷ نشان می‌دهد نمونه آزمایشگاهی مقاومت نهایی 70



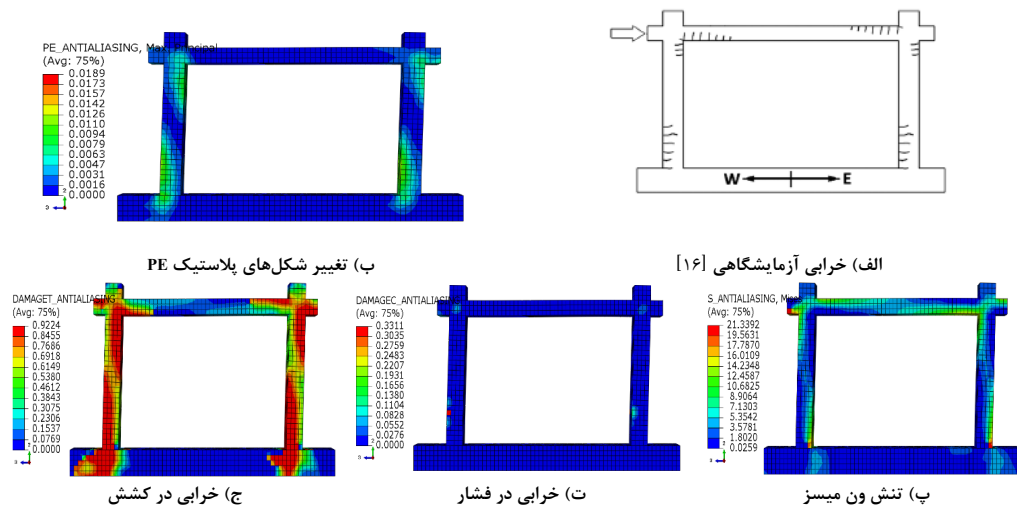
ب) نمودار نیرو-تغییر مکان نمونه تحلیلی و نمونه شاهد آزمایشگاهی

شکل ۱۱. صحت سنجی قاب بتن مسلح غیر لرزه‌ای تحلیلی با نمونه آزمایشگاهی در جایه‌جایی نسبی 3%



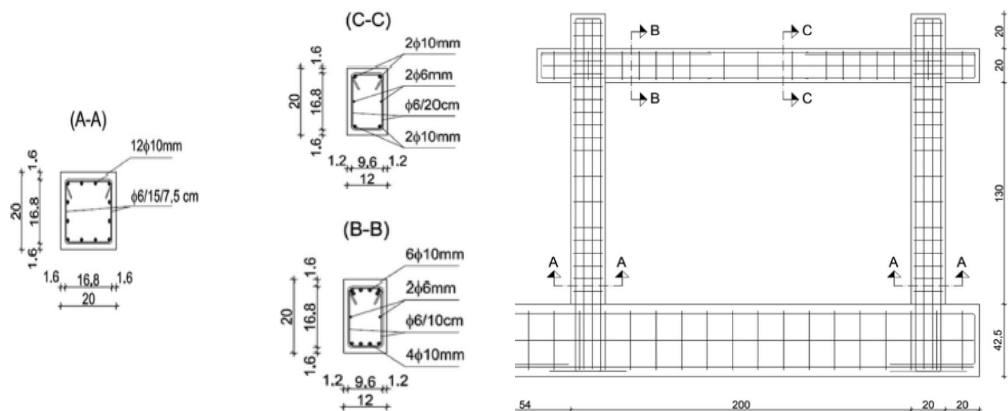
الف) مدل‌سازی اجزای محدودی نمونه شاهد-V

Fig. 11. Verify of non-seismic reinforced concrete frame with laboratory specimens with relative displacement 3%. a) Finite element model of reference specimen NS-T0-P0.1-FRAME-V, b) Force-displacement curve of analytical specimen and experimental reference specimen



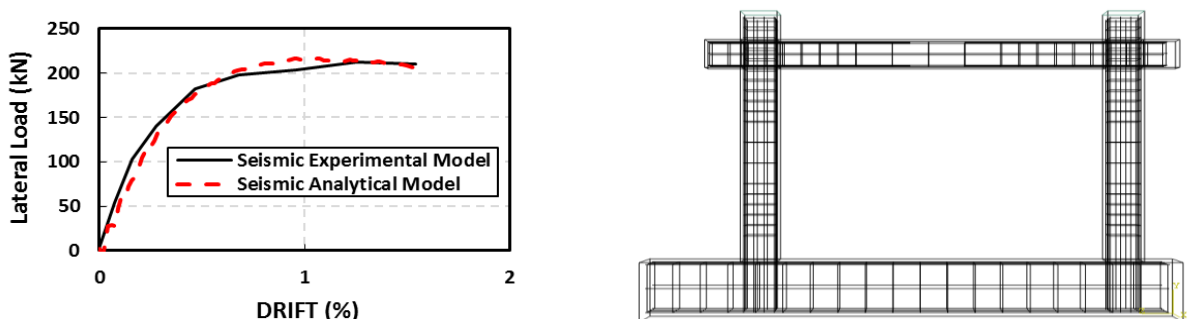
شکل ۱۲. خرایی نمونه شاهد آزمایشگاهی و نمونه تحلیلی NS-T0-P0.1-FRAME-V در جابجایی نسبی ۳٪

Fig. 12. Experimental and finite element of damage pattern of reference specimen NS-T0-P0.1-FRAME-V with relative displacement 3%. a) Experimental damage, b) Plastic deformation, c) Mises stress, d) Compression damage, e) Tension damage



شکل ۱۳. مشخصات قاب بتن مسلح با جزئیات لرزه‌ای (ابعاد بر حسب سانتی‌متر) [۲۸]

Fig. 13. Specifications of reinforced concrete frame with seismic details (dimensions in centimeters).



الف) مدل سازی اجزای محدودی نمونه شاهد قاب بتن مسلح لرزه‌ای ب) نمودار نیرو-تغییر مکان نمونه تحلیلی با نمونه شاهد آزمایشگاهی
شکل ۱۴. صحبت سنجی قاب بتن مسلح لرزه‌ای تحلیلی با نمونه آزمایشگاهی در جابجایی نسبی ۱.۶٪/۱۶

Fig. 14. Verify of seismic reinforced concrete frame with laboratory specimens with relative displacement 1.6%. a) Finite element model of seismic reinforced concrete frame reference specimen, b) Force-displacement curve of analytical specimen and experimental reference specimen

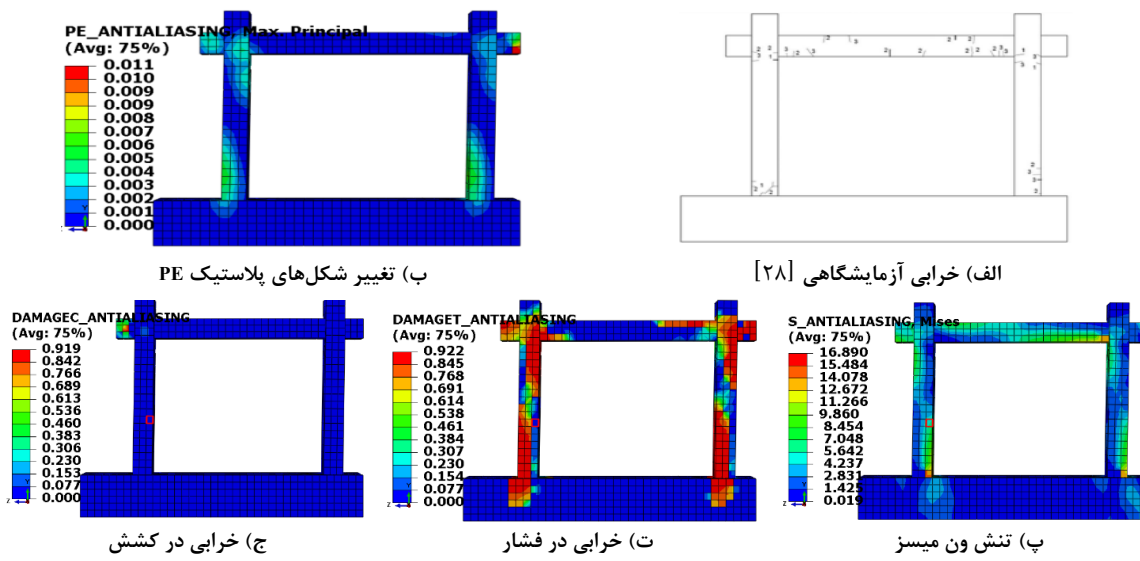
جزئیات لرزه‌ای

آسیب‌هایی از جمله ایجاد مفصل پلاستیک در انتهای ستون‌ها و در محل اتصال تیر به ستون، و ترک‌هایی روی تیر مشاهده شده است. با توجه شکل ۱۵-الف خرابی در نمونه شاهد در جابه‌جایی نسبی ۱/۶ درصد که در آزمایشگاه مشاهده شده است، در شکل ۱۵-ب تغییر شکل‌های پلاستیک PE و شکل ۱۵-پ-ت-ج به ترتیب تنش ون میسز، خرابی در فشار و خرابی در کشش را نشان می‌دهد.

۳-۵- صحبت سنجی نمونه مدل‌سازی شده قاب میان‌پر مصالح بنایی

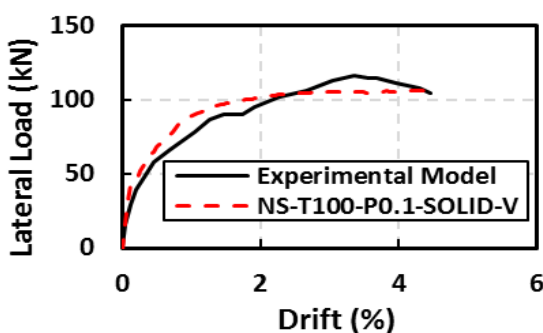
شکل ۱۶-الف نمونه شاهد آزمایشگاهی قاب میان‌پر مصالح بنایی با جزئیات غیر لرزه‌ای با ضخامت ۱۰۰ میلی‌متر تحت بار محوری ۱۰۰ طرفیت فشاری ستون‌ها در نرم‌افزار ABAQUS مدل‌سازی و با تحلیل دینامیکی صریح با حداکثر جابه‌جایی نسبی ۴/۳٪ تحلیل شده است. شکل ۱۶-ب سطح زیر نمودار نیرو-تغییرمکان آزمایشگاهی و تحلیلی نمونه V-NS-T100-P0.1-SOLID-V با اختلاف سطح را نشان می‌دهد، در جدول ۷ نشان می‌دهد. در جدول ۷ نمودار نیرو-تغییرمکان آزمایشگاهی مقاومت نهایی ۱۰۵ کیلونیوتون، سختی مؤثر ۶/۶ کیلونیوتون بر میلی‌متر، شکل پذیری ۳/۸۷٪ است؛ در نمونه تحلیلی مقاومت نهایی ۹۸ کیلونیوتون، سختی مؤثر ۷ کیلونیوتون بر میلی‌متر، شکل پذیری ۴/۱۴٪ است. درصد اختلاف پارامترهای مورد نظر نمونه تحلیلی نسبت به نمونه آزمایشگاهی هر کدام به ترتیب برابر با ۴/۱، ۴/۱۵ و ۸/۳ درصد است، که نشان دهنده صحبت مدل‌سازی در قاب بتُنی با جزئیات لرزه‌ای است. در نمونه شاهد آزمایشگاهی

با توجه به اینکه این مقاله به دنبال بررسی اثر جزئیات لرزه‌ای و غیر لرزه‌ای در رفتار قاب‌های میان‌پری است، در بخش قبل صحبت‌سنجی با مشخصات غیرلرزه‌ای انجام شد و برای مدل‌سازی قاب بتُن مسلح با مشخصات لرزه‌ای مدل آزمایشگاهی زیگموند و همکاران در سال ۲۰۱۴ استفاده گردید [۲۸]. جزئیات و مشخصات قاب بتُن مسلح لرزه‌ای زیگموند و همکاران [۲۸] در شکل ۱۳ نشان داده شده است. شکل ۱۴-الف قاب شاهد آزمایشگاهی با جزئیات لرزه‌ای تحت بار محوری ۳۶۵ کیلونیوتون در نرم‌افزار ABAQUS مدل‌سازی شده و با تحلیل استاتیکی غیر خطی تحت بارگذاری یک طرفه با حداکثر جابه‌جایی نسبی ۱/۶ درصد تحلیل شده است. شکل ۱۴-ب سطح زیر نمودار نیرو-تغییرمکان آزمایشگاهی و تحلیلی نمونه لرزه‌ای با اختلاف سطح ۳/۶ درصد را نشان می‌دهد، در جدول ۷ نشان می‌دهد نمونه آزمایشگاهی مقاومت نهایی ۱۹۴ کیلونیوتون، سختی مؤثر ۳۲/۳۴ کیلونیوتون بر میلی‌متر، شکل پذیری ۳/۵٪ است؛ در نمونه تحلیلی مقاومت نهایی ۲۰۲ کیلونیوتون، سختی مؤثر ۳۱ کیلونیوتون بر میلی‌متر، شکل پذیری ۳/۲۳٪ است. درصد اختلاف پارامترهای مورد نظر نمونه تحلیلی نسبت به نمونه آزمایشگاهی هر کدام به ترتیب برابر با ۴/۱، ۴/۱۵ و ۸/۳ درصد است، که نشان دهنده صحبت مدل‌سازی در قاب بتُنی با جزئیات لرزه‌ای است. در نمونه شاهد آزمایشگاهی

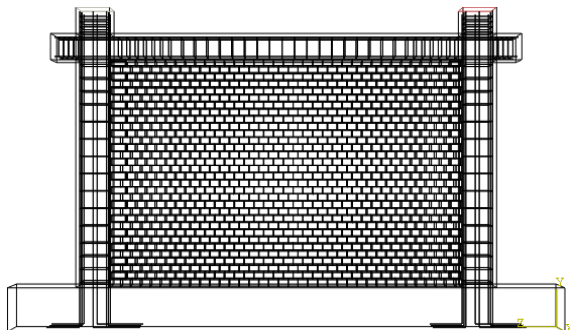


شکل ۱۵. خرابی نمونه شاهد آزمایشگاهی و نمونه تحلیلی قاب بتُن مسلح یا جزئیات لرزه‌ای در جابه‌جایی نسبی ۱/۶٪

Fig. 15. Experimental and finite element of damage pattern of seismic reinforced concrete frame reference specimen with relative displacement 1.6%. a) Experimental damage, b) Plastic deformation, c) Mises stress, d) Compression damage, e) Tension damage



ب) نمودار نیرو-تغییرمکان نمونه تحلیلی با نمونه شاهد آزمایشگاهی



الف) مدل سازی اجزای محدودی نمونه شاهد آزمایشگاهی
NS-T100-P0.1-SOLID-V

شکل ۱۶: صحبت سنجی قاب میان پر غیر لرزه ای تحلیلی با نمونه آزمایشگاهی در جایه جایی نسبی %۴/۳

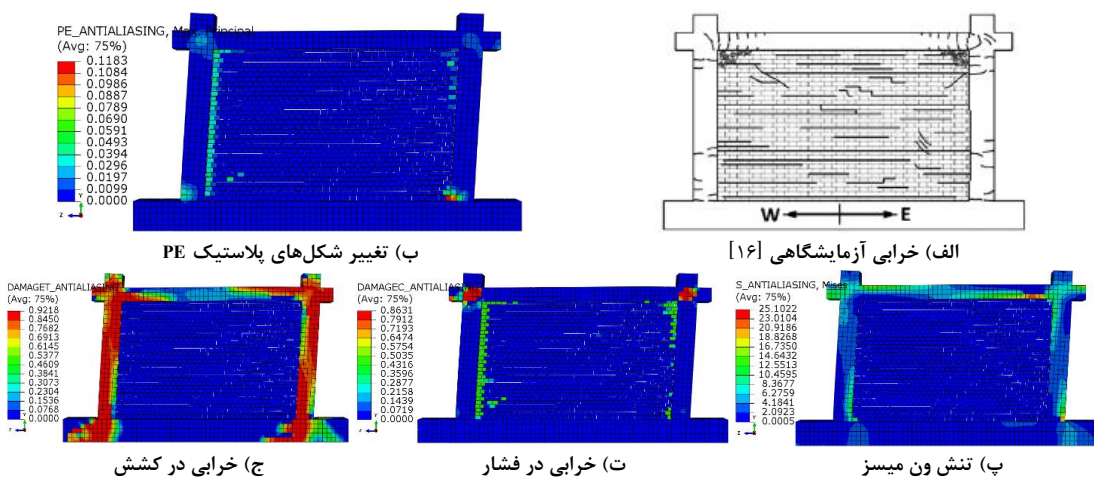
Fig. 16. Verify of non-seismic infill-frame masonry with laboratory specimens with relative displacement 4.3%. a) Finite element model of reference specimen NS-T100-P0.1-SOLID-V, b) Force-displacement curve of analytical specimen and experimental reference specimen

خرابی در فشار، خرابی در کشش در نمونه تحلیلی قابل مشاهده است. بر اساس معیارهای خرابی در نظر گرفته شده برای بتن و مصالح بنایی که هردو از معیار خرابی گستردگی پلاستیک CDP استفاده شده است. شکل های ۱۲ و ۱۵ و ۱۷ نمایشی از توزیع خرابی ها در فشار و کشش را ارائه می دهد.

۶- بررسی نتایج نمونه های تحلیلی

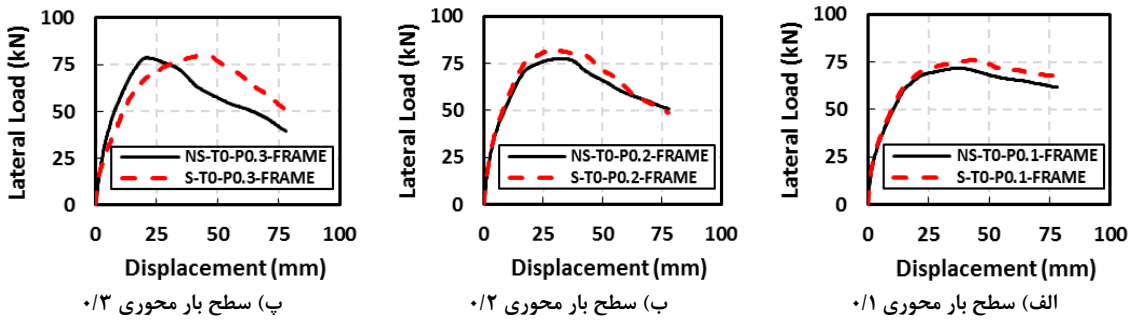
پس از صحبت سنجی های صورت گرفته، برای نمونه های قاب بتن مسلح با جزئیات غیر لرزه ای و قاب بتن مسلح با جزئیات لرزه ای و قاب میان پر مصالح بنایی تحلیلی در بارگذاری یک طرفه ۶ درصد

درصد است. در نمونه شاهد قاب میان پر مصالح بنایی آزمایشگاهی آسیب هایی از جمله جایه جایی ترکهای افقی در محل درزهای ملات و در نقاط مختلف میان قاب ایجاد شدند، شکل گیری خسارت در میان قاب عمده نشان دهنده حاکم بودن درزهای ملات بر رفتار کلی میان قاب بوده است. وقوع چنین پدیده های با توجه به ضعیف بودن نسبی میان قاب به لحاظ مقاومت بر بشی نسبتاً پایین ملات منطقی به نظر می رسد. با توجه به شکل ۱۷-الف خرابی در نمونه NS-T100-P0.1-SOLID-V که در آزمایشگاه مشاهده شده است. شکل ۱۷-ب تغییر شکل های پلاستیک ترکهای مرزی و خردشیدگی گوشه در نمونه تحلیلی است. در شکل ۱۷-پ-ت-ج به ترتیب تنفس ون میسر،



شکل ۱۷. خرابی نمونه شاهد آزمایشگاهی و نمونه تحلیلی NS-T100-P0.1-SOLID-V در جایه جایی نسبی %۴/۳

Fig. 17. Experimental and finite element of damage pattern of reference specimen NS-T100-P0.1-SOLID-V with relative displacement 4.3%. a) Experimental damage, b) Plastic deformation, c) Mises stress, d) Compression damage, e) Tension damage



شکل ۱۸. مقایسه قاب بتن مسلح با جزئیات غیر لرزه‌ای و لرزه‌ای تحت بارهای محوری مختلف

Fig. 18. Comparison of reinforced concrete frame with non-seismic and seismic details under different axial loads. a) Axial load level 0.1, b) Axial load level 0.2, c) Axial load level 0.3

همان‌طور که در جدول ۸ مشاهده می‌شود، قاب بتن مسلح با جزئیات غیر لرزه‌ای NS-T0-P0.1-FRAME که تحت سطح بار محوری ۰/۱ ظرفیت فشاری ستون‌ها، مقاومت نهایی آن ۷۲ کیلونیوتن است. نمونه‌های NS-T0-P0.2-FRAME و NS-T0-P0.3-FRAME سطح بار محوری آنها ۰/۲ و ۰/۳ ظرفیت فشاری ستون است، که مقاومت نهایی آنها به ترتیب ۷۷ و ۷۸ کیلونیوتن است. افزایش سطح بار محوری ۱۴/۱٪ افزایش مقاومت داشته است. سختی مؤثر نمونه‌ها در سطوح مختلف بار محوری ۰/۱، ۰/۲ و ۰/۳ به ترتیب برابر است با ۴/۸۱، ۴/۴۹ و ۴/۸۲ کیلونیوتن بر میلی‌متر، که به طور میانگین در هر نمونه با افزایش بار محوری ۱۰/۵٪ افزایش سختی مؤثر داشته است. شکل پذیری این نمونه‌ها در سطوح مختلف بار محوری ۰/۱، ۰/۲ و ۰/۳ برابر با ۴/۸۷٪ است که با افزایش سطح بار محوری به طور میانگین ۳/۱۸ و ۲/۷۵٪ شکل پذیری کاهش پیدا می‌کند.

سه نمونه قاب بتن مسلح با جزئیات لرزه‌ای تحت سطوح مختلف بار محوری ۰/۱، ۰/۲ و ۰/۳ ظرفیت فشاری ستون‌ها قرار گرفته است،

جایه‌جایی نسبی داده شده است، پس از تحلیل‌هایی که صورت گرفته، شکست نمونه‌ها با توجه به اینکه نسبت ابعادی همه نمونه‌ها یک بعد داشته در نمونه‌های قاب بتن مسلح با جزئیات لرزه‌ای شکل گیری مفصل پلاستیک در دو انتهای تیرها و در انتهای ستون و در قاب بتن مسلح با جزئیات غیرلرزه‌ای عمدتاً تیرها در ناحیه اتصال تیر و ستون دچار ترک خودگی می‌شوند. شکست نمونه‌های تحلیلی قاب بتن مسلح با میان‌قاب مصالح بنایی با جزئیات لرزه‌ای و غیر لرزه‌ای به صورت خردشگی گوش و ترک‌های قطری بوده است. برای دو خطی کردن نمودارهای نیرو-تغییرمکان از روشی که FEMA ۳۵۶ برای سازه‌های مصالح بنایی پیشنهاد داده، استفاده شده است.

۱-۶- قاب بتن مسلح

نمودار نیرو-تغییرمکان نمونه‌های قاب بتن مسلح با جزئیات لرزه‌ای و غیر لرزه‌ای تحت سطوح مختلف بار محوری دو خطی شده است و در جدول ۸ نتایج مقاومت نهایی، سختی مؤثر، شکل پذیری نشان داده شده است.

جدول ۷. مقایسه نمونه شاهد آزمایشگاهی با نمونه تحلیلی

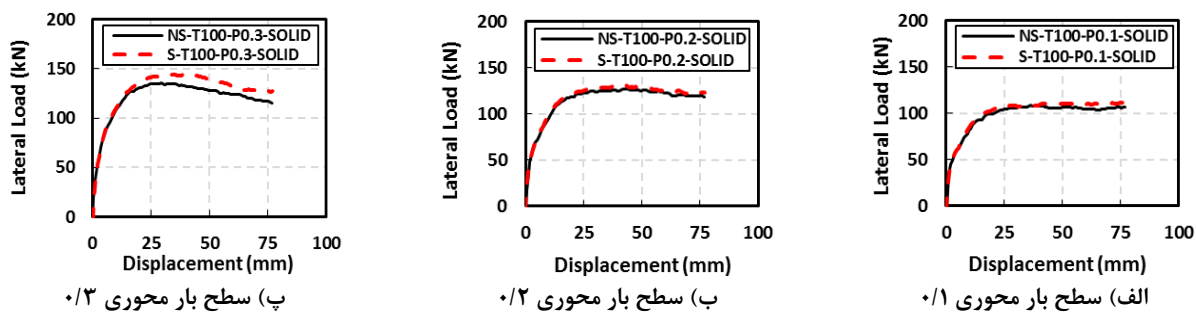
Table 7. Comparison of experimental reference specimen and analytical specimen.

| نام نمونه | نوع نمونه | مقاومت نهایی (kN) | سختی مؤثر (kN/mm) | شکل پذیری | سطح زیر نمودار (mm) | سطح زیر دو نمودار | % اختلاف سطح زیر دو نمودار |
|----------------------------------|------------|-------------------|-------------------|-----------|---------------------|-------------------|----------------------------|
| قابل بتن مسلح غیر لرزه‌ای تحلیلی | آزمایشگاهی | ۷۰ | ۲/۷ | ۲/۱۵ | ۱۹۲۹ | ۲۰۶۷ | ٪۷/۳ |
| | تحلیلی | ۷۰ | ۳/۴ | ۲/۵ | | | |
| قابل بتن مسلح لرزه‌ای تحلیلی | آزمایشگاهی | ۱۹۴ | ۳۲/۳۴ | ۳/۵ | ۳۵۳۹/۵۲ | ۳۶۶۸/۳۸ | ٪۳/۶ |
| | تحلیلی | ۲۰۲ | ۳۱ | ۳/۲۳ | | | |
| قابل میان‌پر مصالح بنایی تحلیلی | آزمایشگاهی | ۱۰۵ | ۶/۶ | ۳/۸۷ | ۵۳۴۱/۸ | ۵۵۶۸/۲ | ٪۲/۹ |
| | تحلیلی | ۹۸ | ۷ | ۴/۱۴ | | | |

جدول ۸. نتایج دو خطی سازی نمونه‌های قاب بتن مسلح

Table 8. Results of bilinearization of reinforced concrete frame specimens

| نام نمونه | δ_y | δ_m | V_y | مقاومت نهایی (kN) | سختی مؤثر (kN/mm) | شكل پذیری |
|--------------------|------------|------------|-------|-------------------|-------------------|-----------|
| نمونه آزمایشگاهی | ۲۰ | ۴۳ | ۵۶ | ۷۰ | ۲/۸ | ۲/۱۵ |
| NS-T0-P0.1-FRAME-V | ۱۷ | ۴۳ | ۵۸ | ۷۰ | ۳/۴ | ۲/۵ |
| NS-T0-P0.1-FRAME | ۱۶ | ۷۸ | ۷۲ | ۷۲ | ۴/۵ | ۴/۸۷ |
| NS-T0-P0.2-FRAME | ۱۶ | ۵۱ | ۷۷ | ۷۷ | ۴/۸۱ | ۳/۱۸ |
| NS-T0-P0.3-FRAME | ۱۴ | ۳۹ | ۷۸ | ۷۸ | ۵/۴۹ | ۲/۷۵ |
| S-T0-P0.1-FRAME | ۱۵ | ۷۸ | ۷۵ | ۷۵ | ۵ | ۵/۲ |
| S-T0-P0.2-FRAME | ۱۵ | ۵۹ | ۸۲ | ۸۲ | ۵/۴۶ | ۳/۹۳ |
| S-T0-P0.3-FRAME | ۱۵ | ۵۸ | ۸۳ | ۸۳ | ۵/۵۳ | ۳/۸ |



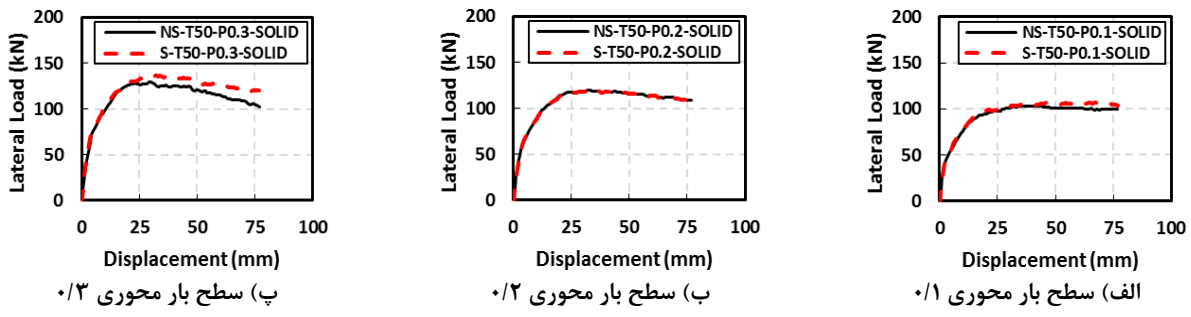
شکل ۱۹. مقایسه بین نمونه قاب‌های میان‌پر غیر لرزه‌ای با لرزه‌ای با ضخامت میان‌قاب ۱۰۰ میلی‌متر

Fig. 19. Comparison between seismic and non-seismic detail infill-frame with infill thickness of 100 mm. a) Axial load level 0.1, b) Axial load level 0.2, c) Axial load level 0.3

فشاری ستون‌ها برابر با $۶/۵$ ، $۱۳/۵$ و $۲۳/۶$ درصد است و در سطح بار محوری $۰/۳$ ظرفیت فشاری ستون‌ها در قاب بتنی با جزئیات لرزه‌ای نسبت به جزئیات غیر لرزه‌ای برابر با $۶/۴$ ، $۶/۴$ و $۳۸/۱۸$ درصد است. همان‌طور که از شکل ۱۸ مشاهده می‌شود لرزه‌ای بودن قاب بتن مسلح نسبت به غیر لرزه‌ای بودن قاب بتن مسلح باعث افزایش مقاومت نهایی، سختی مؤثر و شکل‌پذیری می‌شود، که علت این افزایش شکل‌پذیری، افزایش سختی و کاهش ۵° نظریه جاری شدگی است. با مطالعه تحقیقات گذشته از جمله معرفت و همکاران [۲۹]، در قاب‌های بتن مسلح در نمونه‌های لرزه‌ای و غیر لرزه‌ای با افزایش بار محوری مقاومت و سختی اولیه افزایش پیدا می‌کند، اما پس از نقطه حدکشتر مقاومت به دلیل ایجاد اثرات $\Delta-p$ مقاومت و سختی کاهش پیدا می‌کند که این موضوع در این مقاله در شکل ۱۸ قابل مشاهده است. علاوه بر این با افزایش بار محوری ستون‌های قاب بتن مسلح نیز شکل‌پذیری کاهش می‌یابد.

در سطح بار محوری $۰/۱$ ، $۰/۲$ و $۰/۳$ ظرفیت محوری ستون‌ها مقاومت نهایی به ترتیب برابر با ۷۵ ، ۸۲ و ۸۳ کیلونیوتون است. به طور میانگین با افزایش سطوح بار محوری $۵/۲۵$ % افزایش مقاومت داشته است. در قاب بتن مسلح لرزه‌ای با افزایش سطوح بار محوری $۰/۲$ و $۰/۳$ ظرفیت محوری ستون‌ها، سختی مؤثر به ترتیب برابر با $۵/۴۶$ و $۵/۵۳$ است، که به طور میانگین در هر نمونه با افزایش بار محوری $۵/۲۴$ % سختی مؤثر افزایش داشته است. شکل‌پذیری این نمونه‌ها در سطوح مختلف بار محوری $۰/۱$ ، $۰/۲$ و $۰/۳$ برابر با $۵/۲$ ، $۵/۲$ و $۳/۹۳$ است که با افزایش سطوح بار محوری به طور میانگین $۱۳/۸۵$ % شکل‌پذیری کاهش پیدا می‌کند.

درصد اختلاف مقاومت نهایی، سختی مؤثر و شکل‌پذیری در قاب بتنی با جزئیات لرزه‌ای نسبت به قاب بتنی با جزئیات غیر لرزه‌ای در سطوح بار محوری $۰/۱$ ظرفیت فشاری ستون‌ها به ترتیب برابر با $۱۱/۱۲$ ، $۴/۱$ و $۶/۳۴$ درصد است، در سطوح بار محوری $۰/۲$ ظرفیت



الف) سطح بار محوری ۰/۱

ب) سطح بار محوری ۰/۲

پ) سطح بار محوری ۰/۳

شکل ۲۰. مقایسه بین نمونه قاب‌های میان‌بر جزئیات لرزه‌ای و غیر لرزه‌ای با ضخامت میان قاب ۵۰ میلی‌متر

Fig. 20. Comparison between seismic and non-seismic detail infill-frame with infill thickness of 50 mm. a) Axial load level 0.1, b) Axial load level 0.2, c) Axial load level 0.3

و ۰/۳ ظرفیت فشاری ستون‌ها افزایش پیدا می‌کند، در نمونه‌های S-T100-P0.3-SOLID و S-T100-P0.2-SOLID آن‌ها به ترتیب ۱۲۵ و ۱۴۰ کیلونیوتون می‌شود، میانگین افزایش مقاومت ۱۶/۶۵٪ است. سختی مؤثر در سطوح بار محوری ۰/۱ و ۰/۲ به ترتیب برابر با ۱۱/۸ و ۱۲/۷۲ است، میانگین افزایش سختی مؤثر ۱۱/۱۸٪ است. شکل‌پذیری در سطوح بار محوری ۰/۱ و ۰/۲ شکل‌پذیری برابر با ۷/۷، ۷/۳۴ و ۷ است، میانگین کاهش شکل‌پذیری ۴/۶۵٪ است.

سه نمونه قاب میان‌بر سوم، غیرلرزه‌ای با ضخامت ۵۰ میلی‌متر است، سطوح مختلف بار محوری ۰/۱، ۰/۲ و ۰/۳ ظرفیت فشاری ستون‌ها است. نمونه NS-T50-P0.1-SOLID که تحت سطح بار محوری ۰/۱ ظرفیت فشاری ستون‌ها قرار می‌گیرد، مقاومت نهایی آن ۹۸ کیلونیوتون می‌شود. زمانی که سطوح بار محوری ۰/۲ و ۰/۳ ظرفیت فشاری ستون‌ها می‌شود، در نمونه‌های NS-T100-P0.3-SOLID و NS-T100-P0.2-SOLID آن‌ها به ترتیب ۱۲۵ و ۱۳۴ کیلونیوتون می‌شود، میانگین افزایش مقاومت ۱۵/۴۸٪ است. سختی مؤثر در سطوح بار محوری ۰/۱ و ۰/۲ به ترتیب برابر با ۱۰/۸ و ۱۰/۶ است، میانگین افزایش سختی مؤثر ۱۱/۱۶٪ است. شکل‌پذیری در سطوح بار محوری ۰/۱ و ۰/۲ و ۰/۳ شکل‌پذیری برابر با ۶/۸، ۶/۵۲ و ۶/۲ است، میانگین کاهش شکل‌پذیری برابر ۴/۵٪ است.

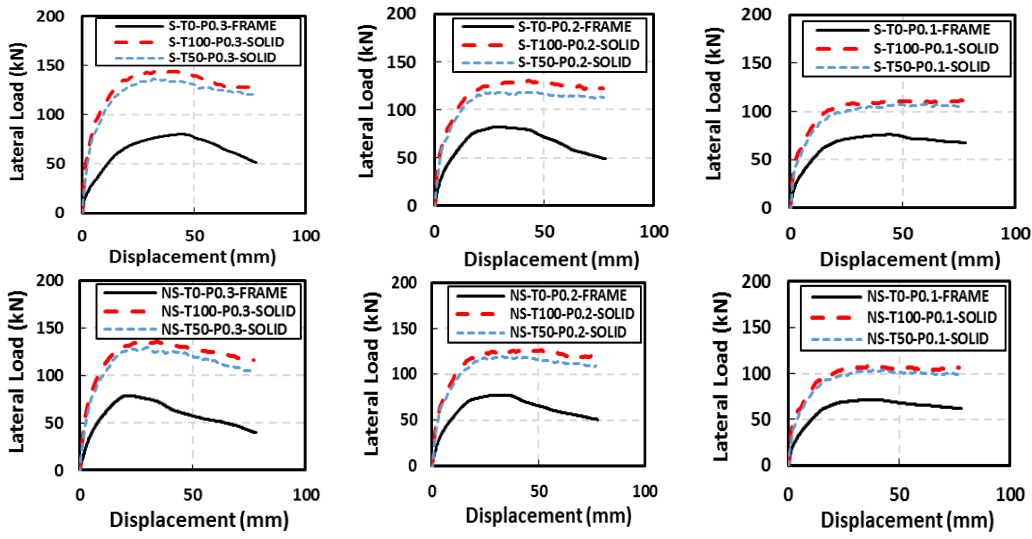
سه نمونه قاب میان‌بر چهارم، لرزه‌ای با ضخامت ۵۰ میلی‌متر که تحت سطوح مختلف بار محوری ۰/۱، ۰/۲ و ۰/۳ ظرفیت

۶-۲-قاب بتن مسلح میان‌بر مصالح بنایی

نمودار نیرو-تغییرمکان نمونه‌های قاب میان‌بر مصالح بنایی با جزئیات لرزه‌ای و غیر لرزه‌ای با سطوح مختلف بار محوری و ضخامت‌های ۱۰۰ و ۵۰ میلی‌متر دو خطی شده است، و در جدول ۹ مقاومت نهایی، سختی مؤثر، شکل‌پذیری نمونه‌های تحلیلی دو خطی شده، نشان داده شده است.

سه نمونه قاب میان‌بر اول، غیرلرزه‌ای با ضخامت ۱۰۰ میلی‌متر است که سطوح مختلف بار محوری نمونه‌ها برابر با ۰/۱ و ۰/۲ و ۰/۳ ظرفیت فشاری ستون‌ها است. نمونه NS-T100-P0.1-SOLID که تحت سطح بار محوری ۰/۱ قرار می‌گیرد، مقاومت نهایی آن ۱۰۱ کیلونیوتون می‌شود، زمانی که سطوح بار محوری ۰/۲ و ۰/۳ ظرفیت فشاری ستون‌ها افزایش پیدا می‌کند، در نمونه‌های NS-T100-P0.3-SOLID و NS-T100-P0.2-SOLID آن‌ها به ترتیب ۱۲۵ و ۱۳۴ کیلونیوتون می‌شود، میانگین افزایش مقاومت ۱۵/۴۸٪ است. سختی مؤثر در سطوح بار محوری ۰/۱ و ۰/۲ به ترتیب برابر با ۱۰/۸ و ۱۰/۶ است، میانگین افزایش سختی مؤثر ۱۱/۱۶٪ است. شکل‌پذیری در سطوح بار محوری ۰/۱ و ۰/۲ و ۰/۳ شکل‌پذیری برابر با ۶/۸، ۶/۵۲ و ۶/۲ است، میانگین کاهش شکل‌پذیری برابر ۴/۵٪ است.

سه نمونه قاب میان‌بر دوم، لرزه‌ای با ضخامت ۱۰۰ میلی‌متر است، که سطوح مختلف بار محوری نمونه‌ها برابر با ۰/۱ و ۰/۲ و ۰/۳ ظرفیت فشاری ستون‌ها است. نمونه S-T100-P0.1-SOLID که تحت سطح بار محوری ۰/۱ ظرفیت فشاری ستون‌ها قرار می‌گیرد، مقاومت نهایی آن ۱۰۳ کیلونیوتون می‌شود، زمانی که سطوح بار محوری ۰/۲



شکل ۲۱. مقایسه قاب بدون میان قاب و قاب میان بر مصالح بنایی با ضخامت ۵۰ و ۱۰۰ میلی متر

Fig. 21. Comparison of frame and infill-frame of masonry thicknesses of 50 and 100 mm

در جدول ۹ و شکل های ۱۹ و ۲۰ قابل مشاهده است. علاوه بر این با افزایش بار محوری نیز شکل پذیری کاهش می یابد.

۱-۲-۶- مقایسه بین نمونه قاب های میان پر با جزئیات لرزه ای و غیر لرزه ای

درصد اختلاف مقاومت نهایی، سختی مؤثر و شکل پذیری در قاب میان پر با جزئیات لرزه ای نسبت به قاب میان پر با جزئیات غیر لرزه ای با ضخامت میان قاب ۱۰۰ میلی متر در سطح بار محوری ۱۰٪ ظرفیت فشاری ستون ها به ترتیب برابر با ۲، ۱۷ و ۱۳/۲۵٪ است، در سطح بار محوری ۰/۲٪ ظرفیت برابری ستون برابر با ۰، ۱۱/۳۲ و ۱۱/۵۷٪ است و در سطح بار محوری ۰/۳٪ ظرفیت برابری ستون برابر با ۴/۵٪ ۱۷/۷۸ و ۱۲/۹٪ است. همان طور که از شکل ۱۹ مشاهده می شود لرزه ای بودن قاب میان پر مصالح بنایی باعث افزایش مقاومت نهایی، سختی مؤثر و شکل پذیری می شود.

درصد اختلاف مقاومت نهایی، سختی مؤثر و شکل پذیری در قاب میان پر با جزئیات لرزه ای نسبت به قاب میان پر با جزئیات غیر لرزه ای با ضخامت میان قاب ۵۰ میلی متر در سطح بار محوری ۱۰٪ ظرفیت فشاری ستون ها به ترتیب برابر با ۱۱/۴، ۲، ۱۱/۴ و ۹/۰۳۵٪ است، در سطح بار محوری ۰/۲٪ ظرفیت فشاری ستون ها برابر با ۰، ۱۱/۴ و ۱۱/۳۱٪ است و در سطح بار محوری ۰/۳٪ ظرفیت فشاری ستون ها در قاب

فشاری ستون ها است. نمونه S-T50-P0,1-SOLID تحت سطح بار محوری ۱۰٪ ظرفیت فشاری ستون ها قرار می گیرد، مقاومت نهایی آن ۱۰۰ کیلونیوتن و زمانی که سطوح بار محوری ۰/۲ و ۰/۳٪ ظرفیت فشاری ستون ها می شود، در نمونه های S-T50-P0.3-SOLID و S-T50-P0.2-SOLID به ترتیب ۱۱۵ و ۱۳۰ کیلونیوتن می شود که به طور میانگین ۱۴٪ افزایش مقاومت داشته است. سختی مؤثر در سطوح مختلف بار محوری ۰/۱، ۰/۲ و ۰/۳٪ به ترتیب برابر با ۱۰/۱۷، ۹/۰۹ و ۱۱/۸٪ است، میانگین افزایش سختی ۱۳/۹۴٪ است. شکل پذیری در سطوح مختلف بار محوری ۰/۱، ۰/۲ و ۰/۳٪ به ترتیب برابر با ۷، ۶/۸ و ۶/۵٪ است، میانگین کاهش شکل پذیری ۰/۳٪ است.

همان طور که در بخش ۱-۶ بیان شد، در قاب های لرزه ای و غیر لرزه ای میان پر مصالح بنایی با ضخامت میان قاب ۱۰۰ میلی متر و ۵۰ میلی متر مانند نمونه قاب های بتن مسلح در نمونه های لرزه ای و غیر لرزه ای با افزایش بار محوری ستون های قاب بتن مسلح مقاومت و سختی مؤثر افزایش پیدا می کند، اما پس از نقطه حداکثر به دلیلی ایجاد اثرات $\Delta-p$ - مقاومت و سختی کاهش پیدا می کند. علاوه بر این در میان قاب های مصالح بنایی حضور بار محوری باعث افزایش چسبندگی اصطکاکی ملات و آجر شده که می تواند منجر به افزایش سختی و مقاومت قبل از نقطه تسليیم نمونه ها شود، که نمونه های تحلیلی موجود در این مقاله نشان دهنده همین رفتار می باشد، که

جدول ۹. نتایج دو خطی سازی نمونه‌های قاب بتون مسلح میان‌پر مصالح بنایی

Table 9. Results of bilinearization of infill-frame masonry specimens

| نام نمونه | δ_y | δ_m | V_y | مقاومت نهایی (kN) | سختی مؤثر (kN/mm) | شكل‌پذیری |
|----------------------|------------|------------|-------|-------------------|-------------------|-----------|
| نمونه آزمایشگاهی | ۱۶ | ۶۲ | ۱۰۵ | ۱۰۵ | ۶/۶ | ۳/۸۷ |
| NS-T100-P0.1-SOLID-V | ۱۴ | ۵۸ | ۹۸ | ۹۸ | ۷ | ۴/۱۴ |
| NS-T100-P0.1-SOLID | ۱۱/۵ | ۷۷ | ۱۰۱ | ۱۰۱ | ۸/۸ | ۶/۸ |
| NS-T100-P0.2-SOLID | ۱۱/۸ | ۷۷ | ۱۲۵ | ۱۲۵ | ۱۰/۶ | ۶/۵۲ |
| NS-T100-P0.3-SOLID | ۱۲/۴ | ۷۷ | ۱۳۴ | ۱۳۴ | ۱۰/۸ | ۶/۲ |
| S-T100-P0.1-SOLID | ۱۰ | ۷۷ | ۱۰۳ | ۱۰۳ | ۱۰/۳ | ۷/۷ |
| S-T100-P0.2-SOLID | ۱۱/۸ | ۷۷ | ۱۲۵ | ۱۲۵ | ۱۱/۸ | ۷/۳۴ |
| S-T100-P0.3-SOLID | ۱۱ | ۷۷ | ۱۴۰ | ۱۴۰ | ۱۲/۷۲ | ۷ |
| NS-T50-P0.1-SOLID | ۱۲ | ۷۷ | ۹۸ | ۹۸ | ۸/۱۶ | ۶/۴۲ |
| NS-T50-P0.2-SOLID | ۱۲/۶ | ۷۷ | ۱۱۵ | ۱۱۵ | ۹/۱۳ | ۶/۱۱ |
| NS-T50-P0.3-SOLID | ۱۲ | ۷۰ | ۱۲۸ | ۱۲۸ | ۱۰/۶۷ | ۵/۸ |
| S-T50-P0.1-SOLID | ۱۱ | ۷۷ | ۱۰۰ | ۱۰۰ | ۹/۰۹ | ۷ |
| S-T50-P0.2-SOLID | ۱۱/۲ | ۷۷ | ۱۱۵ | ۱۱۵ | ۱۰/۱۷ | ۶/۸ |
| S-T50-P0.3-SOLID | ۱۱ | ۷۷ | ۱۳۰ | ۱۳۰ | ۱۱/۸ | ۶/۵۲ |

کند، مقاومت نهایی و سختی مؤثر و شکل‌پذیری آن نیز افزایش پیدا می‌کند.

میان‌پر با جزئیات لرزه‌ای نسبت به قاب میان‌پر با جزئیات غیر لرزه‌ای برابر با $۱۰/۶$ ، $۱۲/۴$ و $۱۰/۰$ است. همان‌طور که از شکل ۲۰ مشاهده می‌شود، لرزه‌ای بودن قاب میان‌پر مصالح بنایی باعث افزایش مقاومت نهایی، سختی مؤثر و شکل‌پذیری می‌شود.

۶-۳- مقایسه بین قاب و قاب میان‌پر از نظر مقاومت نهایی و سختی مؤثر و شکل پذیری

تحلیلی تحت سطوح مختلف بار محوری با جزئیات لرزه‌ای و غیر لرزه‌ای قاب بتونی بدون میان‌قاب و قاب میان‌پر مصالح بنایی صورت گرفته است، مقاومت نهایی تحت سطح بار محوری $۰/۱$ ۰ طرفیت فشاری ستون در نمونه قاب بتونی غیر لرزه‌ای بدون میان‌قاب برابر با ۷۲ کیلونیوتون و در نمونه قاب غیر لرزه‌ای میان‌پر با ضخامت ۱۰۰ میلی‌متر برابر با $۱۰/۱$ کیلونیوتون و قاب غیر لرزه‌ای میان‌پر با ضخامت ۵ میلی‌متر برابر با ۹۸ کیلونیوتون است که به ترتیب ۴۰% و ۳۶% افزایش مقاومت نهایی، ۹۵% و ۸۱% افزایش سختی مؤثر و ۴۰% و ۳۱% افزایش شکل‌پذیری داشته است. همچنین در نمونه قاب بتونی غیر لرزه‌ای بدون میان‌قاب با بار محوری $۰/۲$ مقاومت نهایی برابر با ۷۷ کیلونیوتون و در نمونه قاب میان‌پر با ضخامت ۱۰۰ میلی‌متر برابر با ۱۲۵ کیلونیوتون است و در نمونه قاب غیر لرزه‌ای میان‌پر برابر با ۱۱۵ کیلونیوتون است که به ترتیب ۶۲% و ۴۹% افزایش مقاومت نهایی، $۱۰/۵$ و $۹/۰$ افزایش سختی مؤثر و $۱۰/۵$ و $۹/۲$ افزایش شکل‌پذیری داشته است. همچنین در نمونه قاب بتونی غیر لرزه‌ای

۶-۲- تأثیر افزایش سطوح مختلف بار محوری در نمونه‌های قاب میان‌پر غیر لرزه‌ای و لرزه‌ای با ضخامت‌های ۵۰ و ۱۰۰ میلی‌متر نمونه قاب غیر لرزه‌ای میان‌پر زمانی که ضخامت میان‌قاب از ۵۰ میلی‌متر به ۱۰۰ میلی‌متر افزایش پیدا می‌کند، با افزایش سطوح مختلف بار محوری $۰/۱$ ، $۰/۲$ و $۰/۳$ مقاومت نهایی در نمونه‌ها به ترتیب $۸/۷$ و $۸/۷$ و $۴/۷$ % افزایش پیدا می‌کند، سختی مؤثر در نمونه‌ها به ترتیب $۱۶/۱$ ، $۱۶/۲$ و $۱۶/۳$ % افزایش پیدا می‌کند، شکل‌پذیری در نمونه‌ها به ترتیب $۵/۹$ ، $۶/۳۳$ و $۶/۹$ % افزایش پیدا می‌کند. نمونه قاب لرزه‌ای میان‌پر زمانی که ضخامت میان‌قاب از ۵۰ میلی‌متر به ۱۰۰ میلی‌متر افزایش پیدا می‌کند با افزایش سطوح مختلف بار محوری $۰/۱$ ، $۰/۲$ و $۰/۳$ مقاومت نهایی در نمونه‌ها به ترتیب ۳ ، $۸/۷$ و $۸/۷$ % افزایش پیدا می‌کند، سختی مؤثر در نمونه‌ها به ترتیب $۱۳/۳$ و ۱۶ و $۱۶/۳$ % افزایش پیدا می‌کند، افزایش پیدا می‌کند، شکل‌پذیری در نمونه‌ها به ترتیب ۱۰ ، $۷/۸$ و $۷/۸$ % افزایش پیدا می‌کند، همچنین در نمونه‌ها به ترتیب $۷/۹۴$ و $۷/۳۶$ % افزایش پیدا می‌کند. بررسی نتایج نشان می‌دهد زمانی که ضخامت میان‌قاب از ۵۰ به ۱۰۰ میلی‌متر افزایش پیدا

محوری ۱/۰ و ۲/۰ و ۳/۰ ظرفیت فشاری ستون‌ها و با جزئیات لرزه‌ای غیر لرزه‌ای قاب بتنی و ضخامت‌های مختلف میان‌قاب مصالح بنایی مورد تحلیل و بررسی قرار گرفته است. مهمترین نتایج به دست آمده به قرار زیر می‌باشد:

۱- قاب بتنی لرزه‌ای در مقایسه با قاب بتنی غیر لرزه‌ای در سطوح مختلف بار محوری ۱/۰ و ۲/۰ و ۳/۰ ظرفیت فشاری ستون‌ها میانگین مقاومت نهایی $\%28/84$ افزایش، سختی مؤثر $\%45/8$ افزایش و شکل پذیری $\%22/9$ افزایش پیدا می‌کند.

۲- درصد اختلاف قاب میان‌پر لرزه‌ای در مقایسه با قاب میان‌پر غیر لرزه‌ای در سطوح مختلف بار محوری ۱/۰ و ۲/۰ و ۳/۰ با ضخامت ۱۰۰ میلی‌متر در مقاومت نهایی به ترتیب $\%2/0$ و $\%4/5$ است که با میانگین $\%3/25$ افزایش مقاومت داشته است. درصد اختلاف سختی مؤثر به ترتیب $\%17/17$ ، $\%11/32$ و $\%17/78$ است. درصد اختلاف شکل‌پذیری به ترتیب $\%13/25$ ، $\%12/57$ و $\%12/9$ است.

۳- لرزه‌ای شدن قاب بتنی و قاب میان‌پر باعث افزایش مقاومت نهایی، سختی مؤثر و شکل‌پذیری نسبت به قاب بتنی غیر لرزه‌ای می‌شود.

۴- درصد اختلاف قاب میان‌پر لرزه‌ای در مقایسه با قاب میان‌پر غیر لرزه‌ای در سطوح مختلف بار محوری ۱/۰ و ۲/۰ و ۳/۰ با ضخامت ۵۰ میلی‌متر در مقاومت نهایی به ترتیب $\%2/0$ و $\%1/6$ است، که با میانگین $\%1/8$ افزایش مقاومت داشته است. درصد اختلاف سختی مؤثر به ترتیب برابر با $\%11/4$ ، $\%11/4$ و $\%10/6$ است. درصد اختلاف شکل‌پذیری به ترتیب برابر $\%11/31$ ، $\%6/9$ و $\%12/4$ است.

۵- افزایش ضخامت میان‌قاب مصالح بنایی از ۵۰ میلی‌متر به ۱۰۰ میلی‌متر باعث افزایش مقاومت نهایی، سختی مؤثر و شکل‌پذیری در قاب میان‌پر می‌شود.

۶- در نمونه‌های قاب غیر لرزه‌ای میان‌پر زمانی که ضخامت میان‌قاب از ۵۰ میلی‌متر به ۱۰۰ میلی‌متر افزایش پیدا می‌کند با افزایش سطوح مختلف بار محوری ۱/۰ و ۲/۰ و ۳/۰ به طور میانگین مقاومت نهایی $\%5/4$ ، سختی مؤثر $\%8/37$ و شکل‌پذیری $\%6/38$ افزایش پیدا می‌کند.

بدون میان‌قاب با بار محوری ۳/۰ مقاومت نهایی برابر با ۷۸ کیلونیوتن و در نمونه قاب غیر لرزه‌ای میان‌پر با ضخامت ۱۰۰ میلی‌متر برابر با ۱۳۴ کیلونیوتن است و در نمونه قاب غیر لرزه‌ای میان‌پر با ضخامت ۵ میلی‌متر برابر با ۱۲۸ کیلونیوتن است که $\%72$ و $\%64$ افزایش مقاومت نهایی، $\%96$ و $\%94$ افزایش سختی مؤثر، $\%125$ و $\%110$ افزایش شکل‌پذیری داشته است. مقاومت نهایی تحت سطح بار محوری ۱/۰ ظرفیت فشاری ستون‌ها در نمونه قاب بتنی لرزه‌ای بدون میان‌قاب برابر با ۷۵ کیلونیوتن و در نمونه قاب غیر لرزه‌ای میان‌پر با ضخامت ۱۰۰ میلی‌متر برابر با ۱۰۳ کیلونیوتن است و در نمونه قاب لرزه‌ای میان‌پر با ضخامت ۵۰ میلی‌متر برابر با ۱۰۰ کیلونیوتن است که به ترتیب $\%37$ و $\%34$ افزایش مقاومت نهایی، $\%106$ و $\%81$ افزایش سختی مؤثر، $\%48$ و $\%35$ افزایش شکل‌پذیری داشته است. همچنین در نمونه قاب غیر لرزه‌ای بدون میان‌قاب با بار محوری ۰/۲ مقاومت نهایی برابر با ۸۲ کیلونیوتن و در نمونه قاب میان‌پر با ضخامت ۱۰۰ میلی‌متر برابر با ۱۲۵ کیلونیوتن است و در نمونه قاب لرزه‌ای میان‌پر با ضخامت ۵۰ میلی‌متر برابر با ۱۱۵ کیلونیوتن است، که به ترتیب $\%52/5$ و $\%40$ افزایش مقاومت نهایی، $\%116$ و $\%96$ افزایش سختی مؤثر، $\%87$ و $\%73$ افزایش شکل‌پذیری داشته است. همچنین در نمونه قاب بتنی غیر لرزه‌ای بدون میان‌قاب با بار محوری ۳/۰ مقاومت نهایی برابر با ۸۳ کیلونیوتن و در نمونه قاب لرزه‌ای میان‌پر با ضخامت ۱۰۰ میلی‌متر برابر با ۱۴۰ کیلونیوتن است و در نمونه قاب لرزه‌ای میان‌پر با ضخامت ۵۰ میلی‌متر برابر با ۱۳۰ کیلونیوتن است. به ترتیب $\%69$ و $\%57$ افزایش مقاومت نهایی، $\%130$ و $\%113$ افزایش سختی مؤثر، $\%84$ و $\%72$ افزایش شکل‌پذیری داشته است.

همان‌طور که در شکل ۲۱ مشاهده می‌شود زمانی که میان‌قاب داخل قاب بتنی چه لرزه‌ای چه غیرلرزه‌ای با ضخامت ۵۰ یا ۱۰۰ میلی‌متر قرار بگیرد، قاب میان‌پر نسبت به قاب بتنی بدون میان‌قاب، مقاومت نهایی و سختی مؤثر و شکل‌پذیری افزایش پیدا می‌کند.

۷- نتیجه‌گیری

در این مقاله با استفاده از نرم‌افزار اجزای محدود ABAQUS شش نمونه قاب بتن مسلح و ۱۲ نمونه قاب میان‌پر مصالح بنایی تحت بار جانبی داخل صفحه مدل‌سازی شده‌اند و تأثیر سطوح مختلف بار

[2] P. Asteris, L. Cavaleri, F. Di Trapani, A. Tsaris, Numerical modelling of out-of-plane response of infilled frames: State of the art and future challenges for the equivalent strut macromodels, *Engineering Structures*, 132 (2017) 110-122.

[3] J. Riddington, B.S. Smith, Analysis of infilled frames subject to racking with design recommendations, *Structural Engineer*, 55(6) (1977) 263-268.

[4] M. Sobaih, M. Abdin, Seismic analysis of infilled reinforced concrete frames, *Computers & Structures*, 30(3) (1988) 457-464.

[5] T. Paulay, M.N. Priestley, Seismic design of reinforced concrete and masonry buildings, (1992).

[6] A.B. Mehrabi, P. Benson Shing, M.P. Schuller, J.L. Noland, Experimental evaluation of masonry-infilled RC frames, *Journal of Structural engineering*, 122(3) (1996) 228-237.

[7] C. Murty, S.K. Jain, Beneficial influence of masonry infill walls on seismic performance of RC frame buildings, in: 12th world conference on earthquake engineering, 2000.

[8] A. Tasnimi, A.M. Khah, Effect of infill vertical irregularity on seismic demands of RC building, 2nd International Conference on Concrete and Development, BHRC (Tehran Iran,2005)

[9] P.G. Asteris, D.M. Cotsovos, C. Chrysostomou, A. Mohebkhah, G. Al-Chaar, Mathematical micromodeling of infilled frames: state of the art, *Engineering Structures*, 56 (2013) 1905-1921.

[10] G. Campione, L. Cavaleri, G. Macaluso, G. Amato, F. Di Trapani, Evaluation of infilled frames: an updated in-plane-stiffness macro-model considering the effects of vertical loads, *Bulletin of Earthquake Engineering*, 13(8) (2015) 2265-2281.

[11] C. Zhai, J. Kong, X. Wang, Z. Chen, Experimental and finite element analytical investigation of seismic behavior of full-scale masonry infilled RC frames, *Journal of*

۷- در نمونه‌های قاب لرزه‌ای میان‌پر زمانی که ضخامت میان‌قاب از ۵۰ میلی‌متر به ۱۰۰ میلی‌متر افزایش پیدا می‌کند با افزایش سطوح مختلف بار محوری $0/1$ ، $0/2$ و $0/3$ به طور میانگین مقاومت نهایی مؤثر و شکل‌پذیری قاب میان‌پر به طور میانگین، حدوداً به ترتیب برابر با 60% و 100% و 75% بیشتر از قاب بتنه بدون میان‌قاب می‌شود. می‌کند.

۸- زمانی که میان‌قاب مصالح بنایی در داخل قاب بتنه مسلح با جزئیات لرزه‌ای و غیر لرزه‌ای قرار می‌گیرد، مقاومت نهایی و سختی مؤثر و شکل‌پذیری قاب میان‌پر به طور میانگین، حدوداً به ترتیب برابر با 60% و 12% و 8% افزایش پیدا می‌کند.

۹- در قاب‌های لرزه‌ای و غیر لرزه‌ای میان‌پر مصالح بنایی با ضخامت میان‌قاب ۱۰۰ میلی‌متر و ۵۰ میلی‌متر و نمونه قاب‌های بتنه مسلح در نمونه‌های لرزه‌ای و غیر لرزه‌ای با افزایش بار محوری ستون‌های قاب‌های بتنه مسلح، مقاومت و سختی مؤثر افزایش پیدا می‌کند، اما پس از نقطه حداکثر مقاومت به دلیلی ایجاد اثرات $\Delta-p$ مقاومت و سختی کاهش پیدا می‌کند، علاوه بر این با افزایش بار محوری نیز شکل‌پذیری کاهش می‌یابد.

۸- فهرست عالم

| | |
|---------------------|---|
| E | مدول الاستیسیته مصالح بنایی، (N/mm^2) |
| f_t | مقاومت کششی درز ملات. (N/mm^2) |
| G_f^I | انرژی شکست در کشش، ($N.mm/mm^2$) |
| G_f^{II} | انرژی شکست در برش، ($N.mm/mm^2$) |
| K_{nn} | سختی ملات در جهت عمودی(کششی)، (N/mm^3) |
| K_{ss} | سختی ملات در جهت برشی محور ۱، (N/mm^3) |
| K_{tt} | سختی ملات در جهت برشی محور ۲، (N/mm^3) |
| S OR NS-T-P-Model-V | Seismic Or Non Seismic-Thickness Infill (mm) - 0.1 , 0.2 & 0.3 Lateral Load- Frame Or Solid-Verify |

| | |
|--------|-----------------------------------|
| ρ | چگالی مصالح بنایی، (Ton/mm^3) |
| v | ضریب پواسون |
| μ | ضریب اصطکاک |

۹- مراجع

- [1] I.I.O.S.A.E. Engineering, Earthquake Report 12 Nov 2017 (Sarpol Zahab Kermanshah Province), Fifth Edition, in persian, (2017).

- [20] R. shahbazi, m. yekrangnia, ABAQUS practical quide with civil engineering issues, srtuctural and geotechnical, thired edition, chapter 3 (2016).
- [21] P.J.B.B. Lourenço, Computational strategies for masonry structures, (1997).
- [22] P.B. Lourenço, A user/programmer guide for the micro-modeling of masonry structures, Report, 3(1.31) (1996) 35.
- [23] ABAQUS, ABAQUS/THeory User manual, in, Version, 2011.
- [24] P. Lourenco, Computational strategies for masonry structures//Ph. D. Thesis. Delft University of Technology. Delft. The Netherlands, 1996, (1996).
- [25] A. Committee, I.O.f. Standardization, Building code requirements for structural concrete (ACI 318-08) and commentary, in, American Concrete Institute, 2008.
- [26] S. 9th, The Design And Implementation Of Reinforced Concrete Buildings, National Iranian Building Regulation, In Pershian, (Edition 1397).
- [27] A.T. 1-01, A.T. 1R-01, Acceptance Criteria for moment frames based on structural testing (T1. 1-01) and commentary (T1. 1R-01), in, 2001.
- [28] V. Sigmund, D. Penava, Influence of openings, with and without confinement, on cyclic response of infilled rc frames—an experimental study, Journal of earthquake engineering, 18(1) (2014) 113-146.
- [29] M. Marefat, M. Khanmohammadi, M. Bahrani, A. Goli, Experimental assessment of reinforced concrete columns with deficient seismic details under cyclic load, Advances in Structural Engineering, 9(3) (2006) 337-347.
- [30] Earthquake Engineering, 20(7) (2016) 1171-1198.
- [31] E. Nasiri, Y. Liu, Development of a detailed 3D FE model for analysis of the in-plane behaviour of masonry infilled concrete frames, Engineering Structures, 143 (2017) 603-616.
- [32] M.Ö. Timurağaoğlu, A. Doğangün, R. Livaoglu, Comparison of Different Analytical Models of Infilled RC Frame.
- [33] K.M. Kareem, B. Pantò, Simplified macro-modelling strategies for the seismic assessment of non-ductile infilled frames: a critical appraisal, Journal of Building Engineering, 22 (2019) 397-414.
- [34] F. Prestandard, commentary for the seismic rehabilitation of buildings (FEMA356), Washington, DC: Federal Emergency Management Agency, 7 (2000).
- [35] Mansouri, M.S. Marefat, M. Khanmohammadi, Experimental evaluation of seismic performance of low-shear strength masonry infills with openings in reinforced concrete frames with deficient seismic details, The Structural Design of Tall and Special Buildings, 23(15) (2014) 1190-1210.
- [36] H. moqadam, The Seismic Design of Masonry Buildings, Sharif University of Technology Press, In Pershian, (1372).
- [37] K.M. Dolatshahi, M. Yekrangnia, Out-of-plane strength reduction of unreinforced masonry walls because of in-plane damages, Earthquake Engineering & Structural Dynamics, 44(13) (2015) 2157-2176.
- [38] K.M. Dolatshahi, Computational, analytical and experimental modeling of masonry structures, State University of New York at Buffalo, 2012.

برای ارجاع به این مقاله از عبارت زیر استفاده کنید:

D. Ostad, J. Shafeei, Analytical Study of the Effect of Different Parameters on the Seismic Performance of Masonry Infilled RC Frames ,Amirkabir J. Civil Eng., 53(3) (2021) 955-976.

DOI: [10.22060/ceej.2020.16705.6311](https://doi.org/10.22060/ceej.2020.16705.6311)

